

環境線量低減対策 スケジュール

分野名 括り	作業内容	これまで1ヶ月の動きと今後6ヶ月の予定	4月			5月						6月			7月			8月			9月			10月			11月以降			備考	
			16	20	24	1	5	14	21	25	28	2	6	7	12	16	17	21	22	26	27	31	1	5	12	16	17	21	22	26	27
		(実績) ○総量率測定 ・構内全境の状況把握サーベイ ・構内全域の走行サーベイ【1回／3ヶ月】 ⇒5月18日（第1四半期分） ○総量低減対策 ・建屋エリア（3号機海側）（建物除去・路盤舗装 等） (予定) ○総量率測定 ・構内全境の状況把握サーベイ ⇒10月～11月（1～4号機周辺） ・構内全境の走行サーベイ【1回／3ヶ月】 ⇒8月（第2四半期分）	検討・設計																												
	敷地内線量低減 ・段階的な線量低減	 2023年3月末現在 ■提供：日本スペースゲーリング（株）、(C)DigitalGlobe ■エリヤ平均で5μSv/hを達成したエリア	現場作業	■総量率測定 構内全境の状況把握サーベイ（30mメッシュサーベイ） 構内全域の走行サーベイ 実績反映																										10月2日～3月31日実施予定	
環境線量低減 対策	放射線量低減 対策 海洋汚染拡大防止 ・モニタリング ・排水路整備	(実績) 【護岸エリア地下水対策】港湾内外海水モニタリング 地下水モニタリング 【排水路対策】排水路モニタリング K排水路上流部調査（浄化材の効果の確認） 排水路等土砂回収・排水路浄化材維持管理 【深浅測量】深浅測量2022年度 (予定) 【護岸エリア地下水対策】港湾内外海水モニタリング 地下水モニタリング 【排水路対策】排水路モニタリング K排水路上流部調査（浄化材の効果の確認） K排水路上流部調査（枝管サンプリング（雨期）） 排水路等土砂回収・排水路浄化材維持管理 【深浅測量】深浅測量2023年度	検討・設計																												
		■護岸エリア地下水対策 港湾内外海水モニタリング 地下水モニタリング ■排水路対策 排水路モニタリング K排水路上流部調査（浄化材の効果の確認） K排水路上流部調査（枝管サンプリング） 排水路等土砂回収・排水路浄化材維持管理 ■深浅測量	現場作業	(継続実施) (継続実施) (継続実施) (継続実施) (継続実施) (継続実施) (継続実施) (継続実施)																											
		(実績) 1~4号機原子炉建屋上部ダスト濃度測定、放出量評価 ・路下物測定（1回／月） ・発電所周辺、沿岸海域モニタリング（毎日～1回／月） ・20km圏内 魚介類モニタリング（1回／月 11点） ・茨城県沖における海水採取（毎月） ・宮城県沖における海水採取（毎月） (予定) 1~4号機原子炉建屋上部ダスト濃度測定、放出量評価 ・路下物測定（1回／月） ・発電所周辺、沿岸海域モニタリング（毎日～1回／月） ・20km圏内 魚介類モニタリング（1回／月 11点） ・茨城県沖における海水採取（毎月） ・宮城県沖における海水採取（毎月）	検討・設計	1,2,3,4u放出量評価								1,2,3,4u放出量評価																		(継続運用)	
		環境影響評価 ・モニタリング ・傾向把握、効果評価	現場作業	2u 路下物測定 海水・海底土測定（発電所周辺、茨城県沖、宮城県沖） 20km圏内 魚介類モニタリング		2u 4u 3u 1u																								(継続実施) (継続実施) (継続実施) (継続実施)	2022年4月 多核種除去設備等処理水放出に係る海域モニタリング強化開始。

タービン建屋東側における 地下水及び海水中の放射性物質濃度の状況について

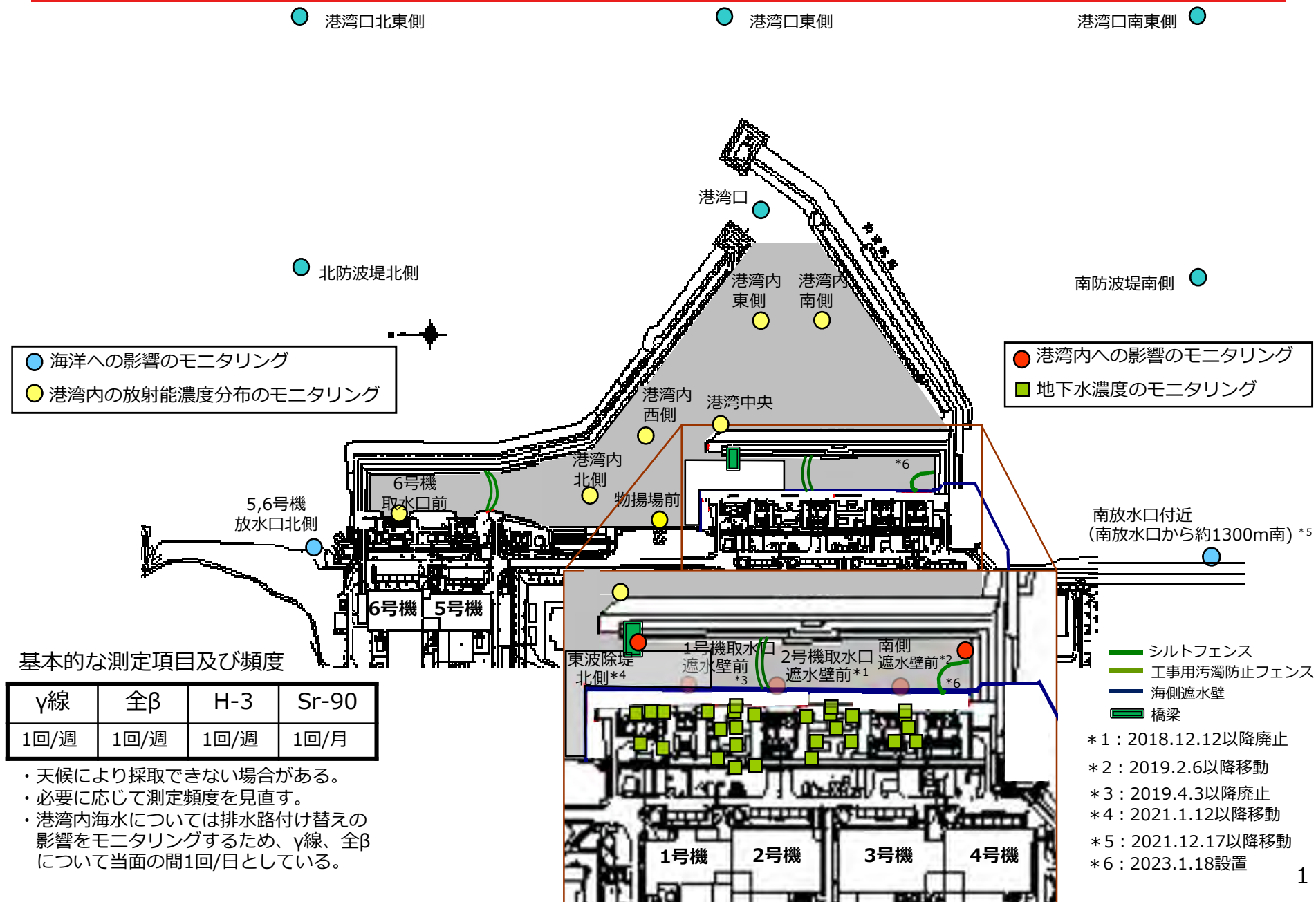
2023/05/25



東京電力ホールディングス株式会社

モニタリング計画（観測点の配置）

TEPCO



<タービン建屋東側の地下水濃度>

- 全体的に低下もしくは横ばい傾向にあるが、一部観測点によっては変動が見られる。
引き続き、傾向を注視していく。

<排水路の排水濃度>

- 降雨時に濃度が上昇する傾向にあるが、全体的に横ばい傾向にある。
 - ・道路・排水路の土砂回収、フェーシングを実施中、排水路及び枝管に浄化材を設置中。

<港湾内外の海水濃度>

- 港湾内では降雨時に上昇が見られるが、港湾外では変化は見られず低い濃度で推移している。※1
 - ・港湾内（取水路開渠内含む）の濃度について、上昇時においても告示濃度を十分に下回っている。※2
 - ・道路・排水路の土砂回収、フェーシング、海側遮水壁閉合、取水路開渠出口へのシルトフェンス設置等の対策の効果によるものと考えられる。

「東京電力ホールディングス（株）福島第一原子力発電所の廃止措置等に向けた中長期ロードマップ」の記載

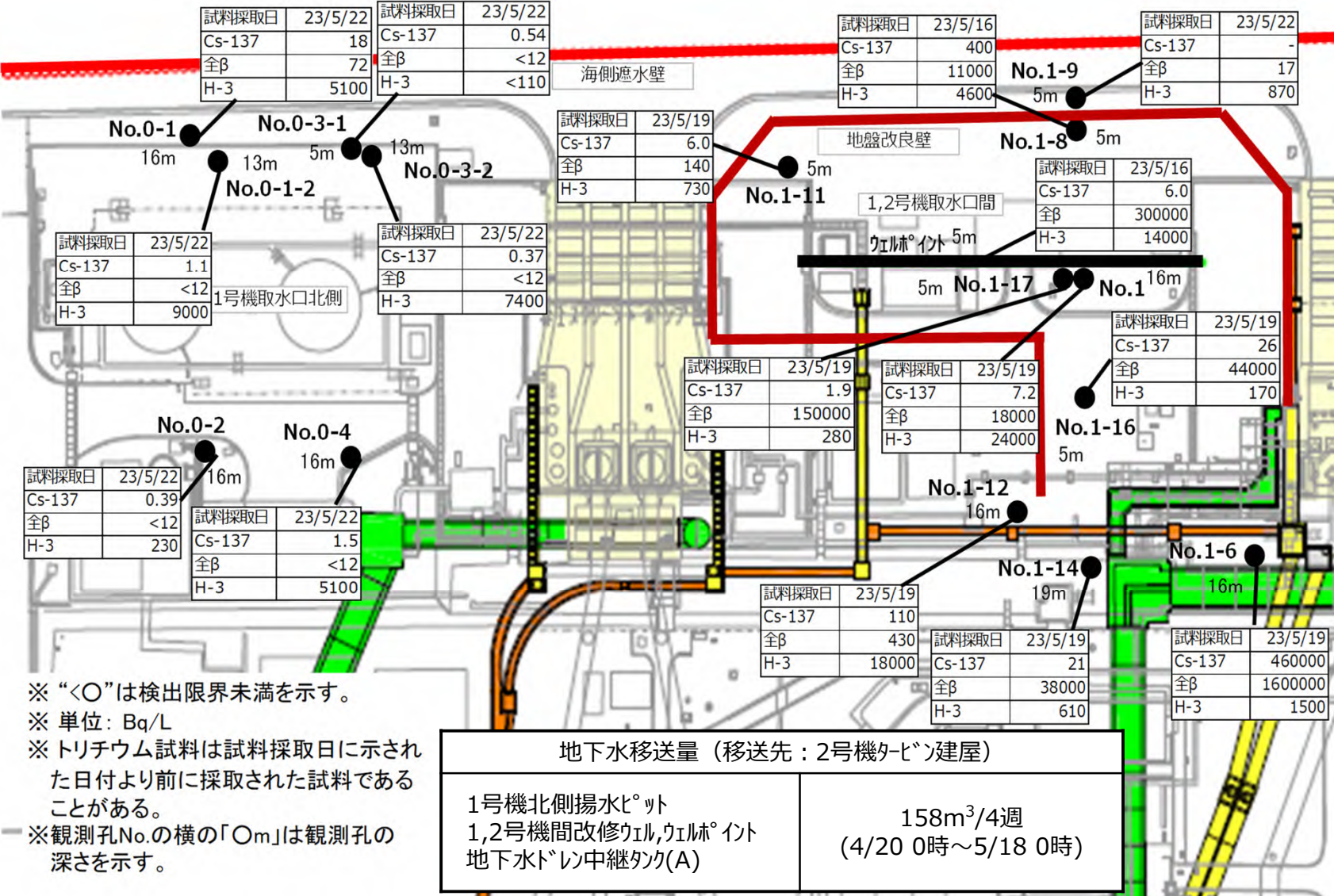
※1 : P.3 3-1.(1) 「周辺海域の海水の放射性物質濃度は、告示で定める濃度限度や世界保健機関の飲料水水質ガイドラインの水準を下回っており、低い水準を維持している。」

※2 : P.26 4-6. (2) ① 「港湾内の放射性物質濃度が告示に定める濃度限度を安定して下回るよう、港湾内へ流出する放射性物質の濃度をできるだけ低減させる。」

タービン建屋東側の地下水濃度 (1/2)

TEPCO

<1号機取水口北側、1,2号機取水口間>

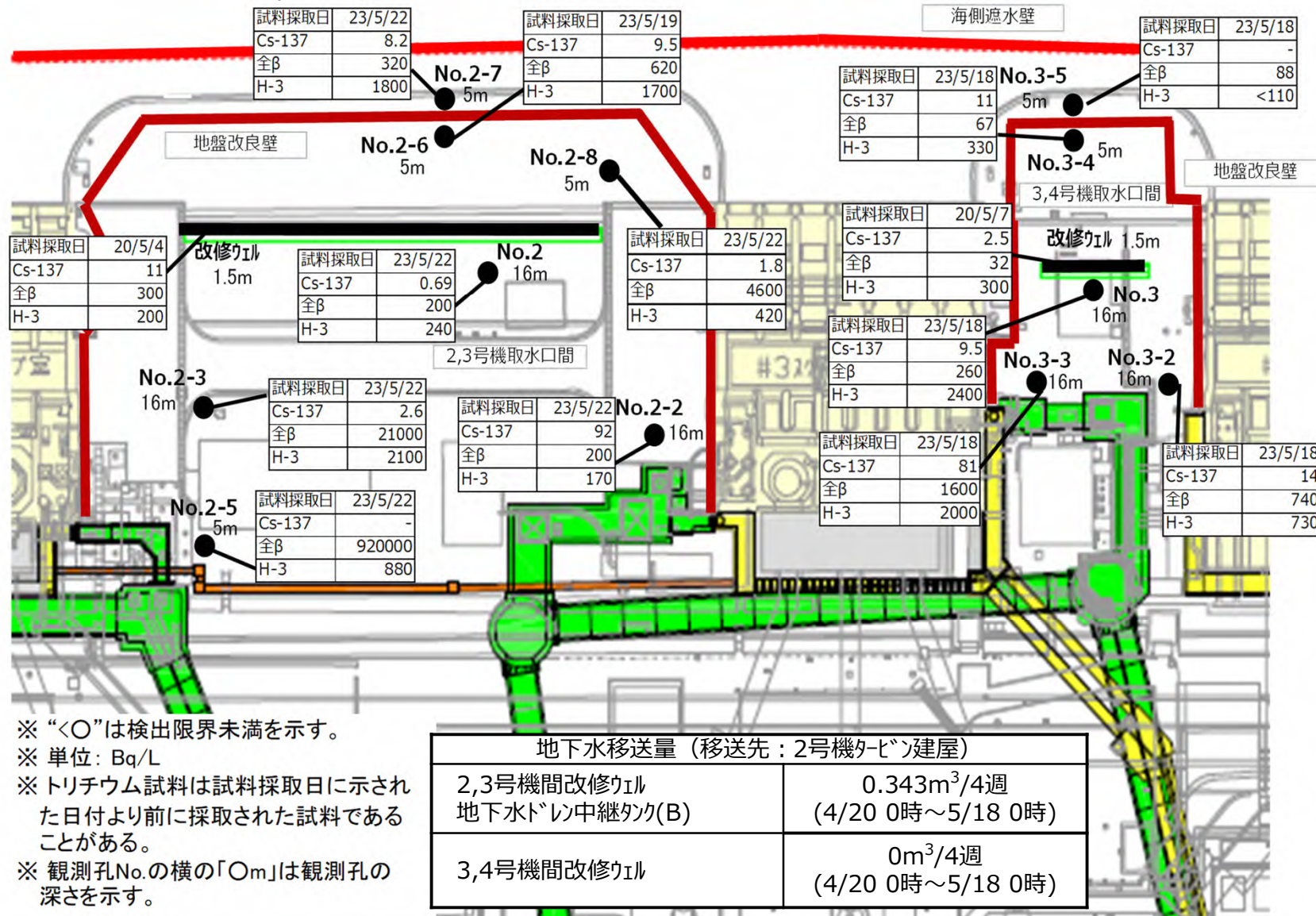


No.0-3-2、No.1、No.1-6については、変動調査中。

タービン建屋東側の地下水濃度 (2/2)

TEPCO

<2,3号機取水口間、3,4号機取水口間>



No.2-5、2-6、No.3-3については、変動調査中。

<1号機取水口北側エリア>

- H-3濃度は、全観測孔で告示濃度60000Bq/Lを下回り、全体としては横ばい又は低下傾向の観測孔が多い。
- 全β濃度は、全体としては横ばい傾向にあるが、2020.4以降に一時的な上昇が見られ、現在においてもNo.0-1-2、No.0-3-1、No.0-3-2、No.0-4など多くの観測孔で上下動が見られるため、引き続き傾向を注視していく。

<1,2号機取水口間エリア>

- H-3濃度は、全観測孔で告示濃度60000Bq/Lを下回り、No.1-14、No.1-16、No.1-17など上下動が見られる観測孔もあるが、全体的に横ばい又は低下傾向の観測孔が多い。
- 全β濃度は、全体としては横ばい傾向にあるが、No.1-6、No.1-9、No.1-11、No.1-12、No.1-14、No.1-16、No.1-17など多くの観測孔で上下動が見られるため、引き続き傾向を注視していく。

<2,3号機取水口間エリア>

- H-3濃度は、全観測孔で告示濃度60000Bq/Lを下回り、No.2-3、No.2-5、No.2-6、No.2-7など上下動が見られる観測孔もあるが、全体的に横ばいの観測孔が多い。
- 全β濃度は、全体としては横ばい傾向にあるが、No.2-5など上昇や変動が見られる観測孔もあり、引き続き傾向を注視していく。

<3,4号機取水口間エリア>

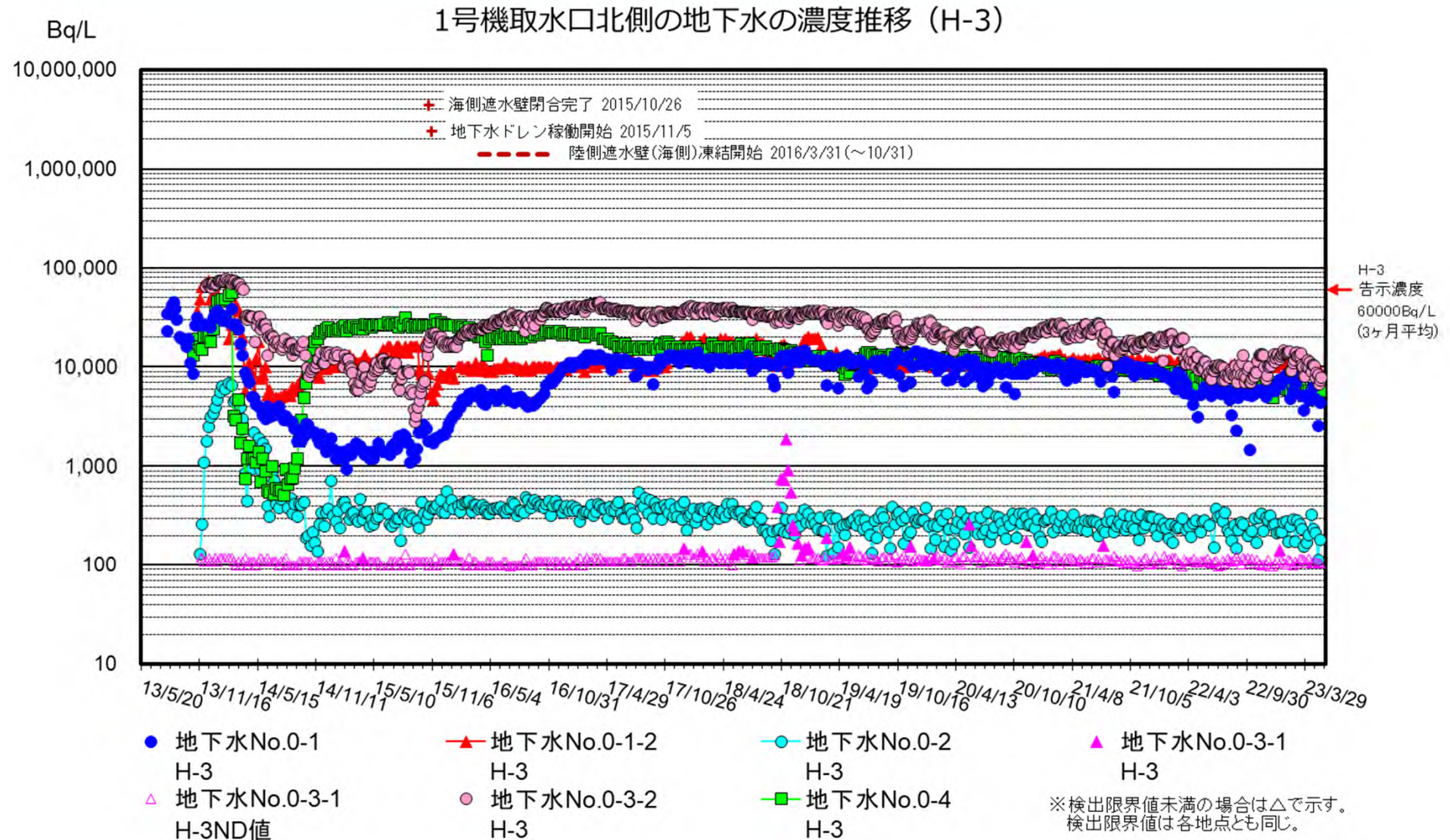
- H-3濃度は、全観測孔で告示濃度60000Bq/Lを下回り、全体的に横ばい又は低下傾向の観測孔が多い。
- 全β濃度は、全体としては横ばいであるが、No.3-4、No.3-5 の観測孔で上下動がみられるため、引き続き傾向を注視していく。

<エリア全体>

- 全β濃度と同様にセシウム濃度についても全体としては横ばい傾向にあるが、上下動が見られ最高値を更新している観測孔もあり、No.0-3-2、No.1、No.1-6、No.2-5、No.2-6、No.3-3については、変動調査を実施している。

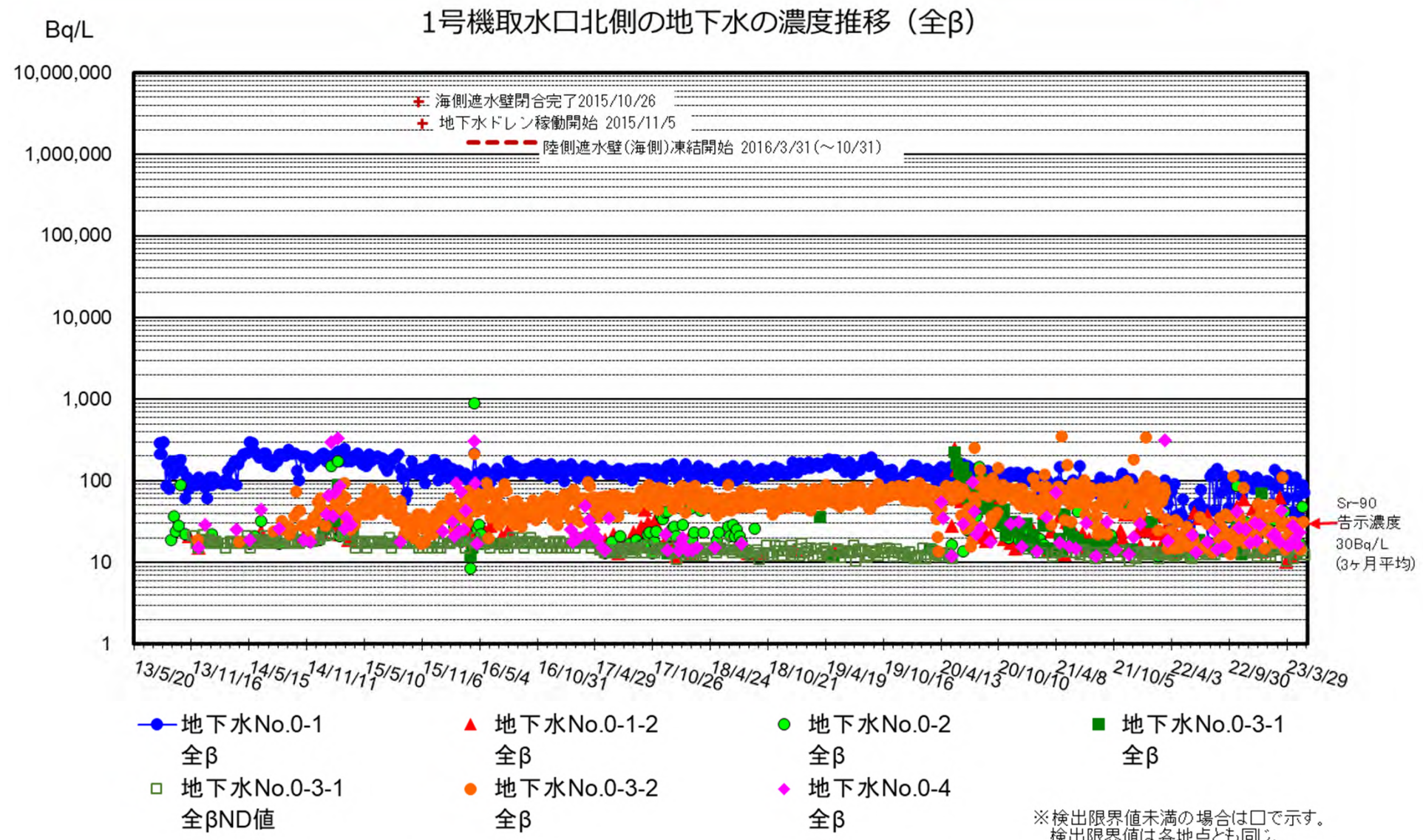
1号機取水口北側の地下水の濃度推移 (1/2)

TEPCO



1号機取水口北側の地下水の濃度推移（2/2）

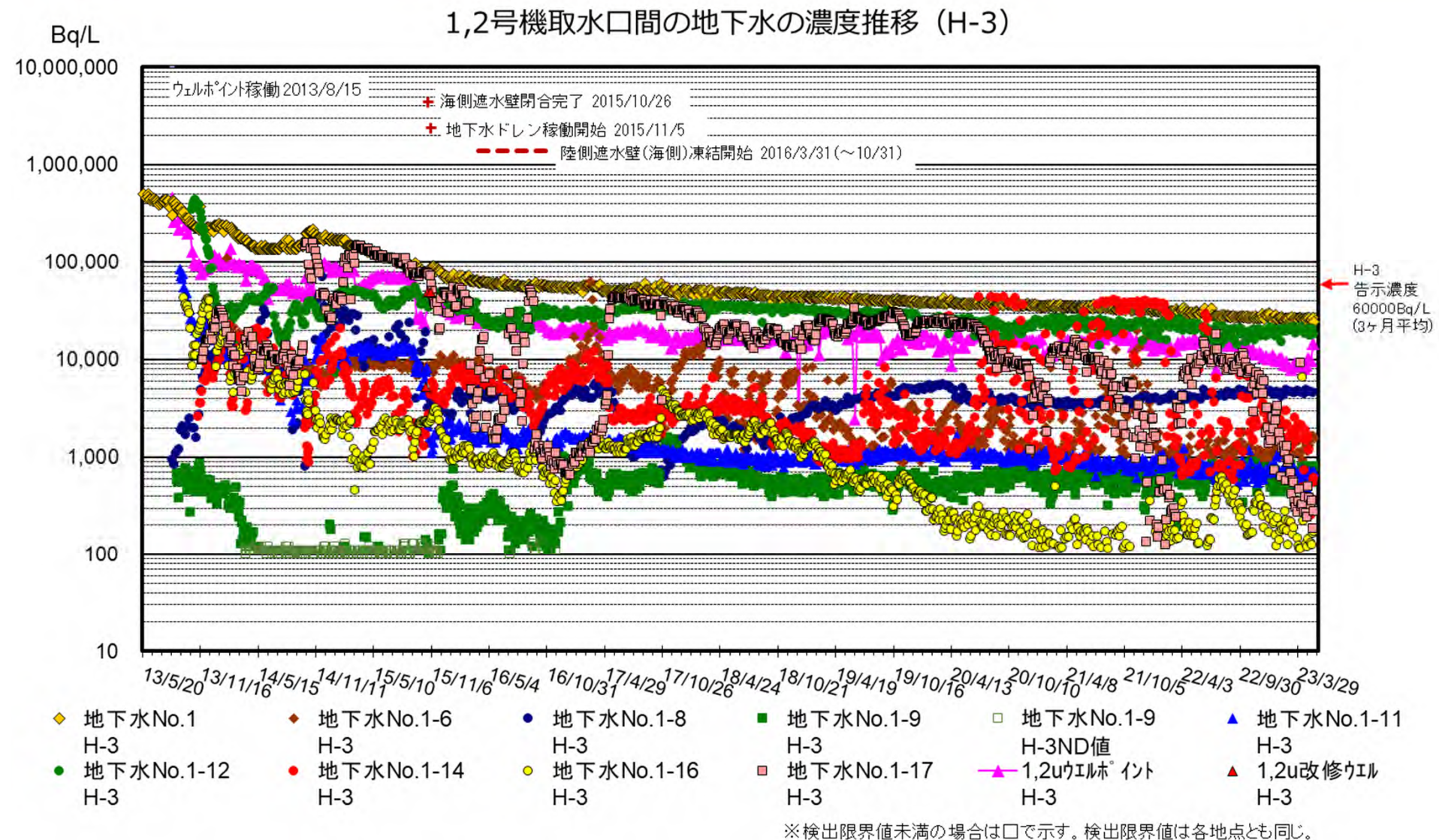
TEPCO



No.0-3-2について、変動調査を実施中。

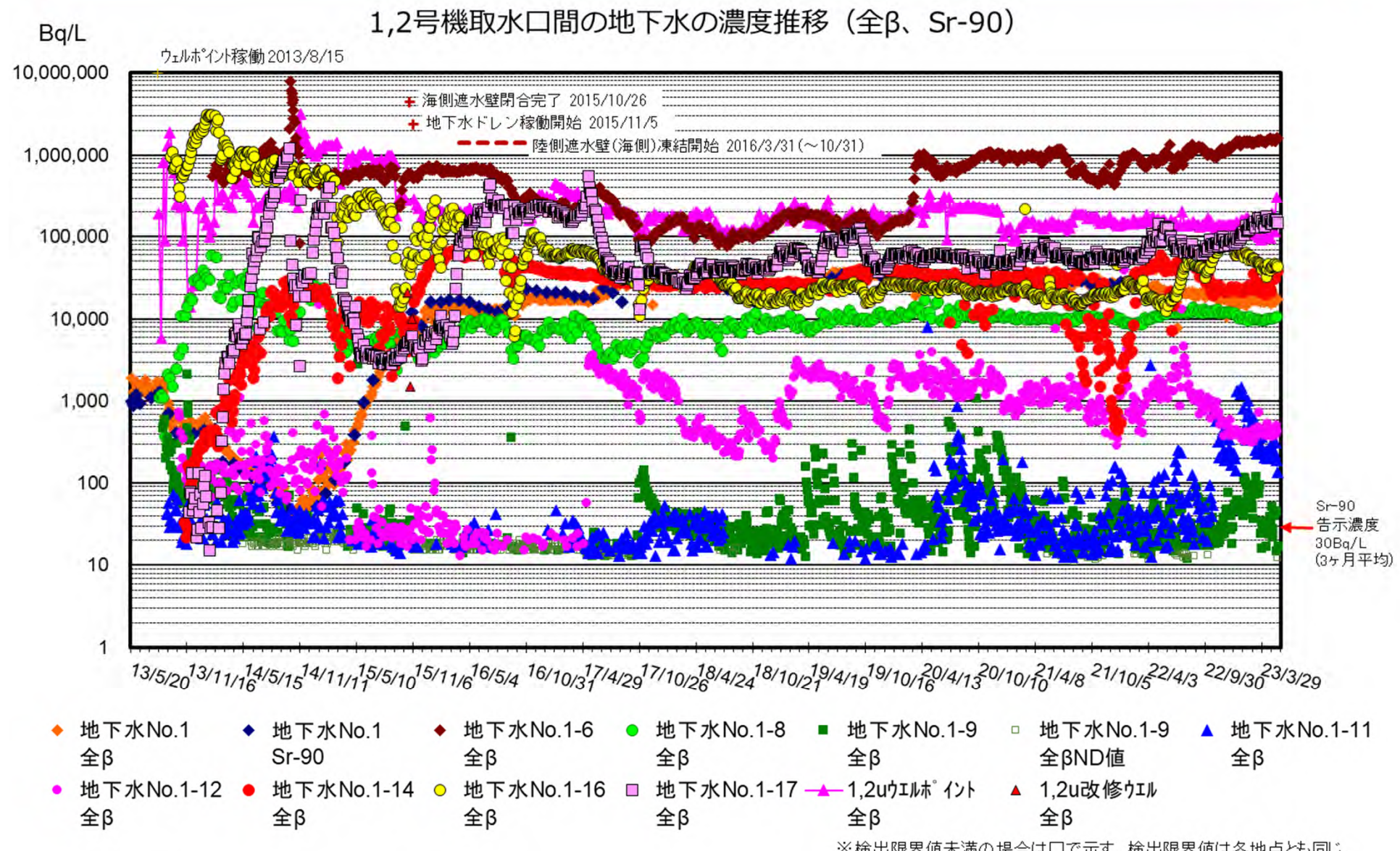
1,2号機取水口間の地下水の濃度推移 (1/2)

TEPCO



1,2号機取水口間の地下水の濃度推移 (2/2)

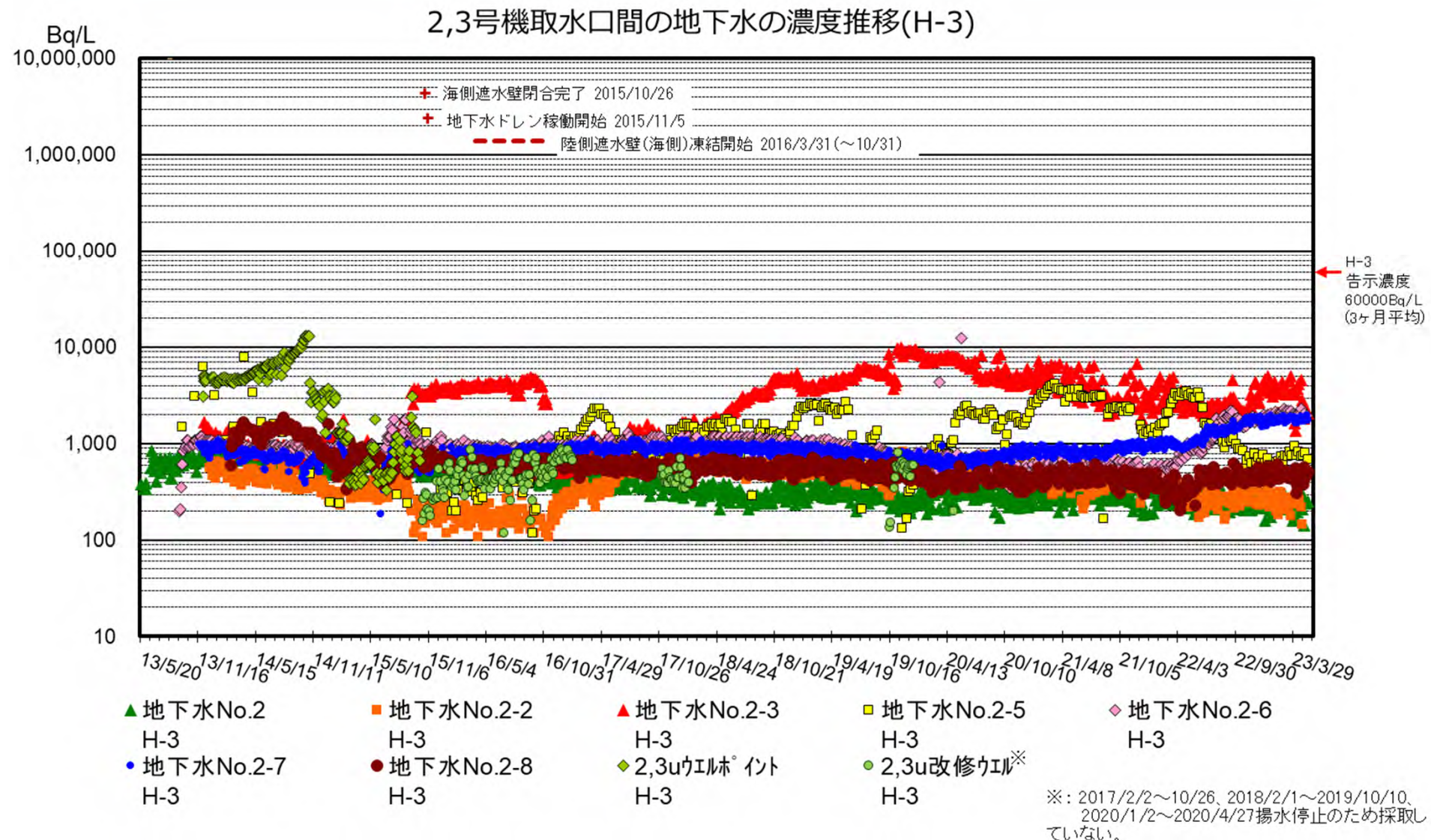
TEPCO



No.1、No.1-6について、変動調査を実施中。

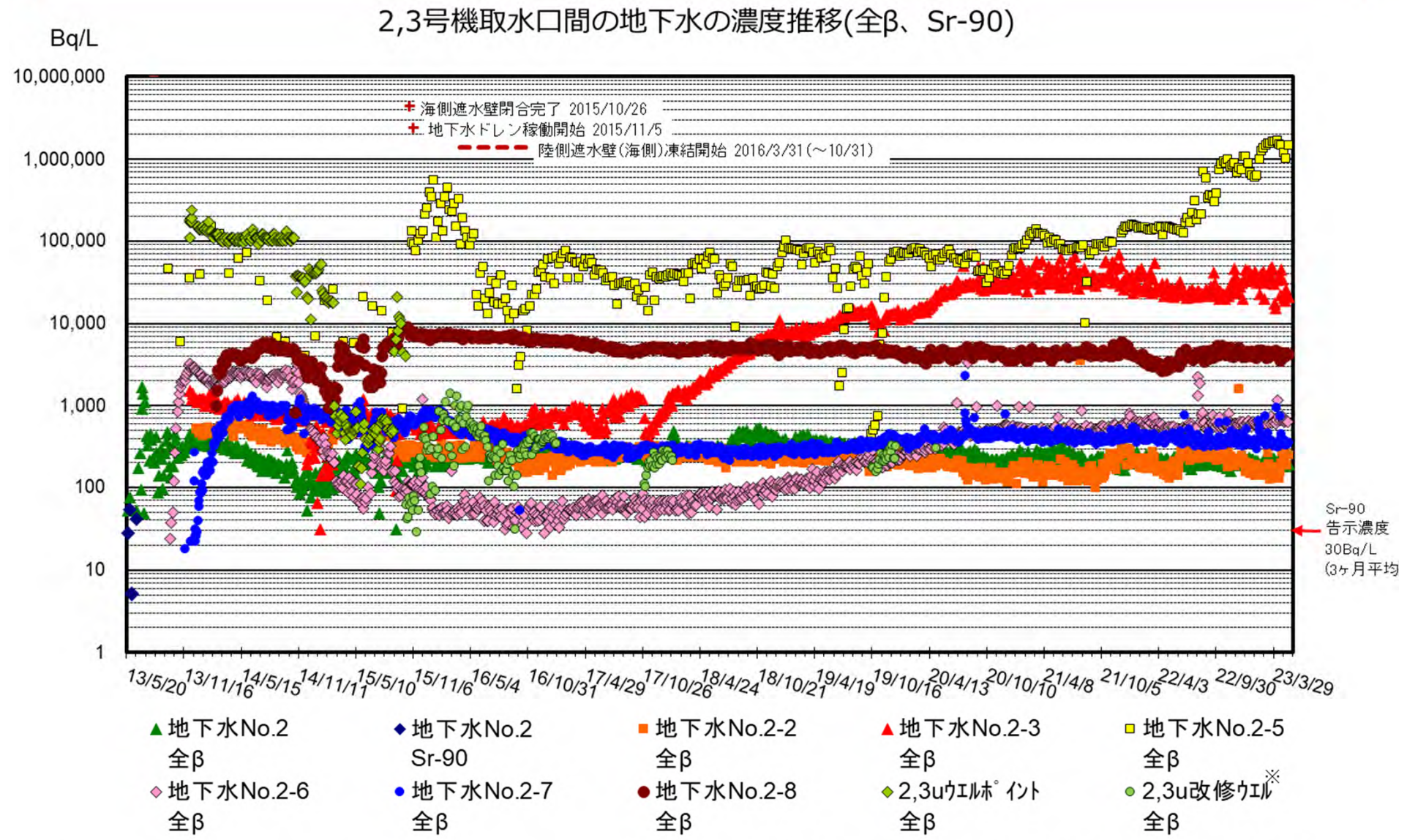
2,3号機取水口間の地下水の濃度推移（1/2）

TEPCO



2,3号機取水口間の地下水の濃度推移 (2/2)

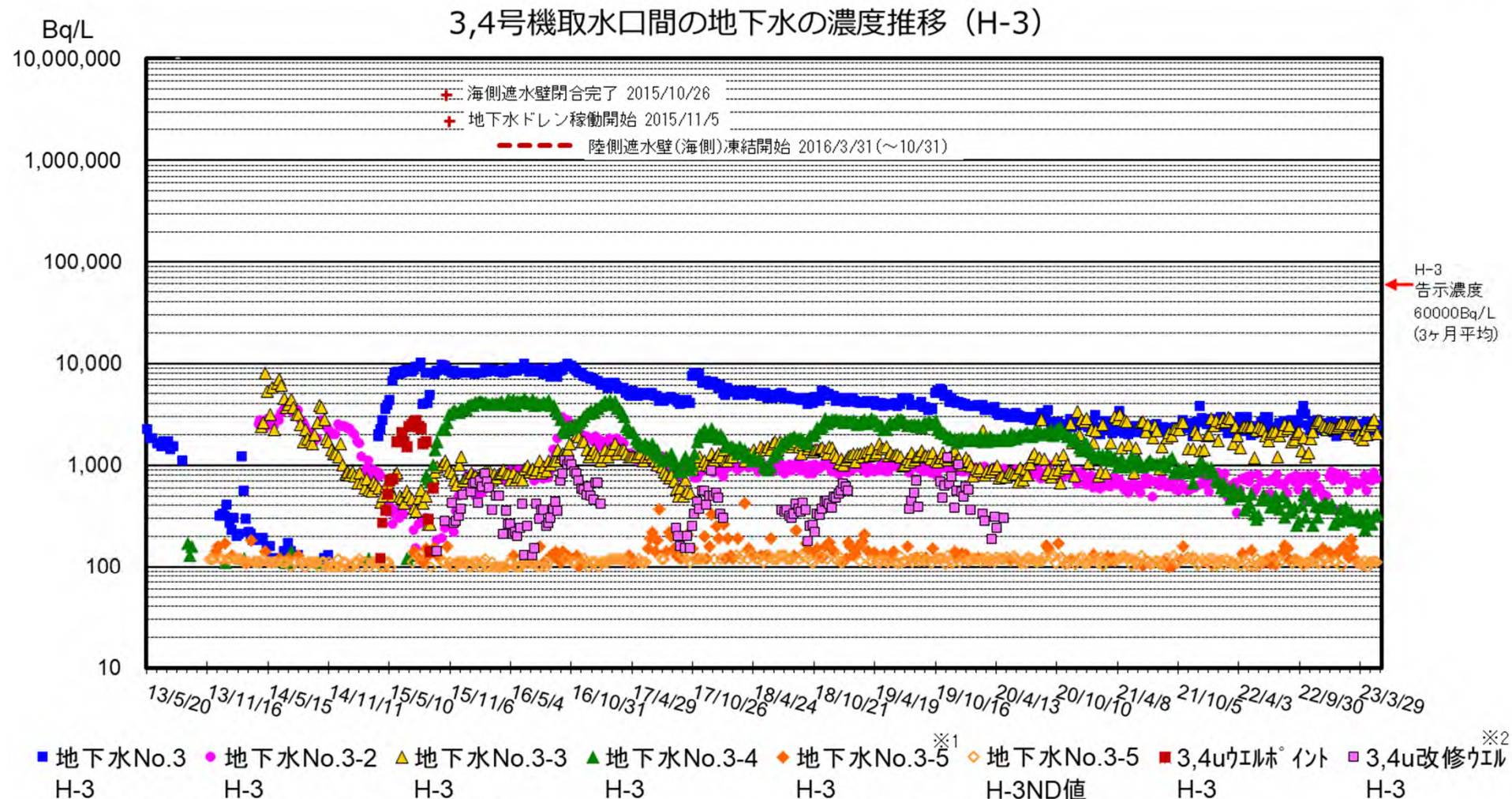
TEPCO



No.2-5、No.2-6について、変動調査を実施中。

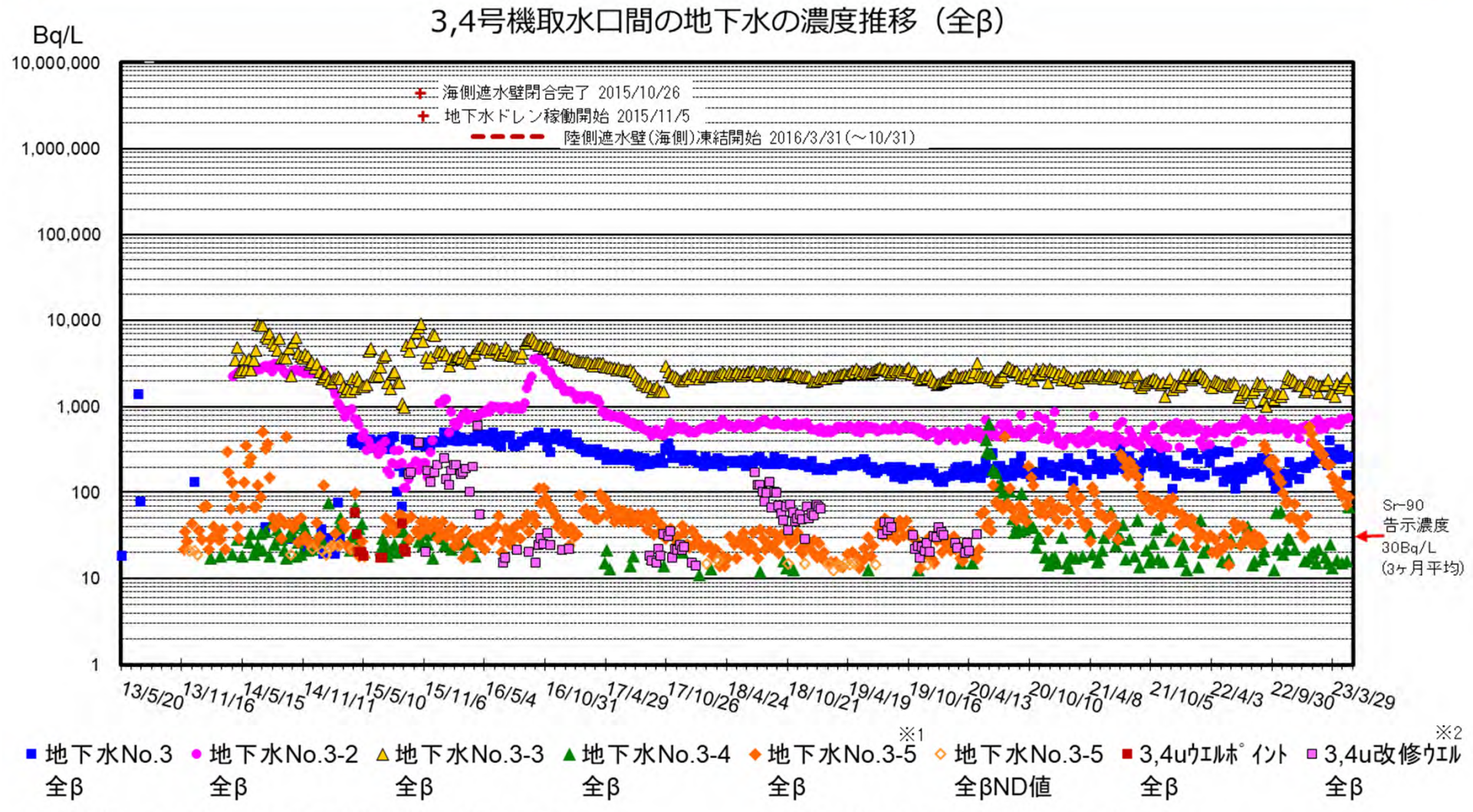
3,4号機取水口間の地下水の濃度推移 (1/2)

TEPCO



3,4号機取水口間の地下水の濃度推移 (2/2)

TEPCO



No.3-3について変動調査を実施中

14

<A排水路>

- 道路・排水路の土砂回収を実施中。
- 全体的に横ばい傾向にある。
- Cs-137濃度、全β濃度は降雨時に上昇する傾向にある。

<物揚場排水路>

- 道路・排水路の土砂回収を実施中。
- 全体的に横ばい傾向にある。
- Cs-137濃度、全β濃度は降雨時に上昇する傾向にある。

<K排水路>

- 道路・排水路の土砂回収を実施中、排水路及び枝管に浄化材を設置中。
- Cs-137濃度、全β濃度は横ばい傾向にあるが、降雨時に上昇する傾向にある。
- H-3濃度は低下傾向にあったが、2017.9以降横ばい傾向となっている。

<C排水路>

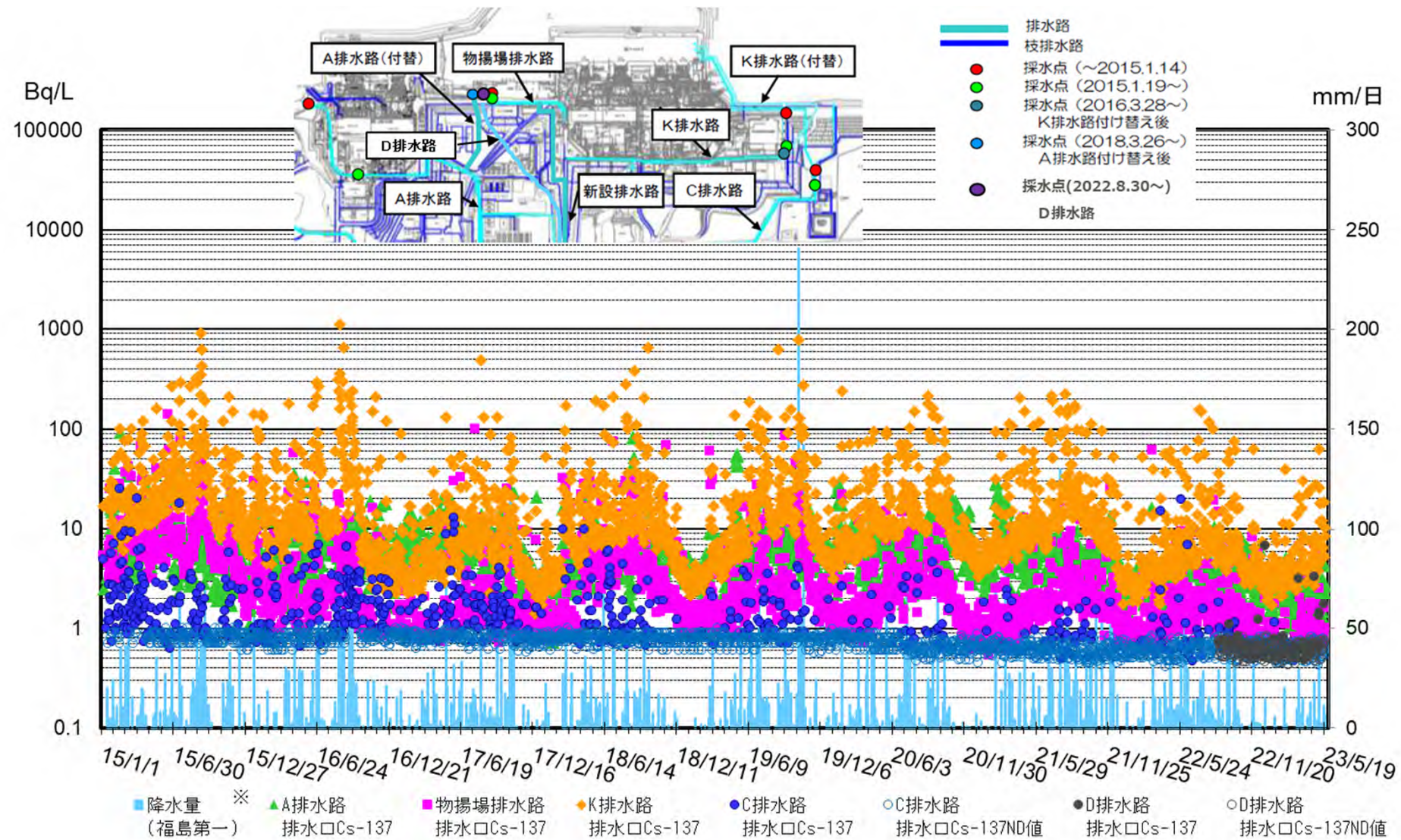
- 道路・排水路の土砂回収を実施中。
- 全体的に横ばい傾向にある。
- Cs-137濃度、全β濃度は降雨時に上昇する傾向にある。

<D排水路>

- 敷地西側の線量が低いエリアの排水を2022/8/30より通水開始。
- 低い濃度で横ばい傾向にある。
- 2022/11/29より連続モニタを設置し、1/2号機開閉所周辺の排水を通水開始。

排水路の排水の濃度推移 (Cs-137)

TEPCO

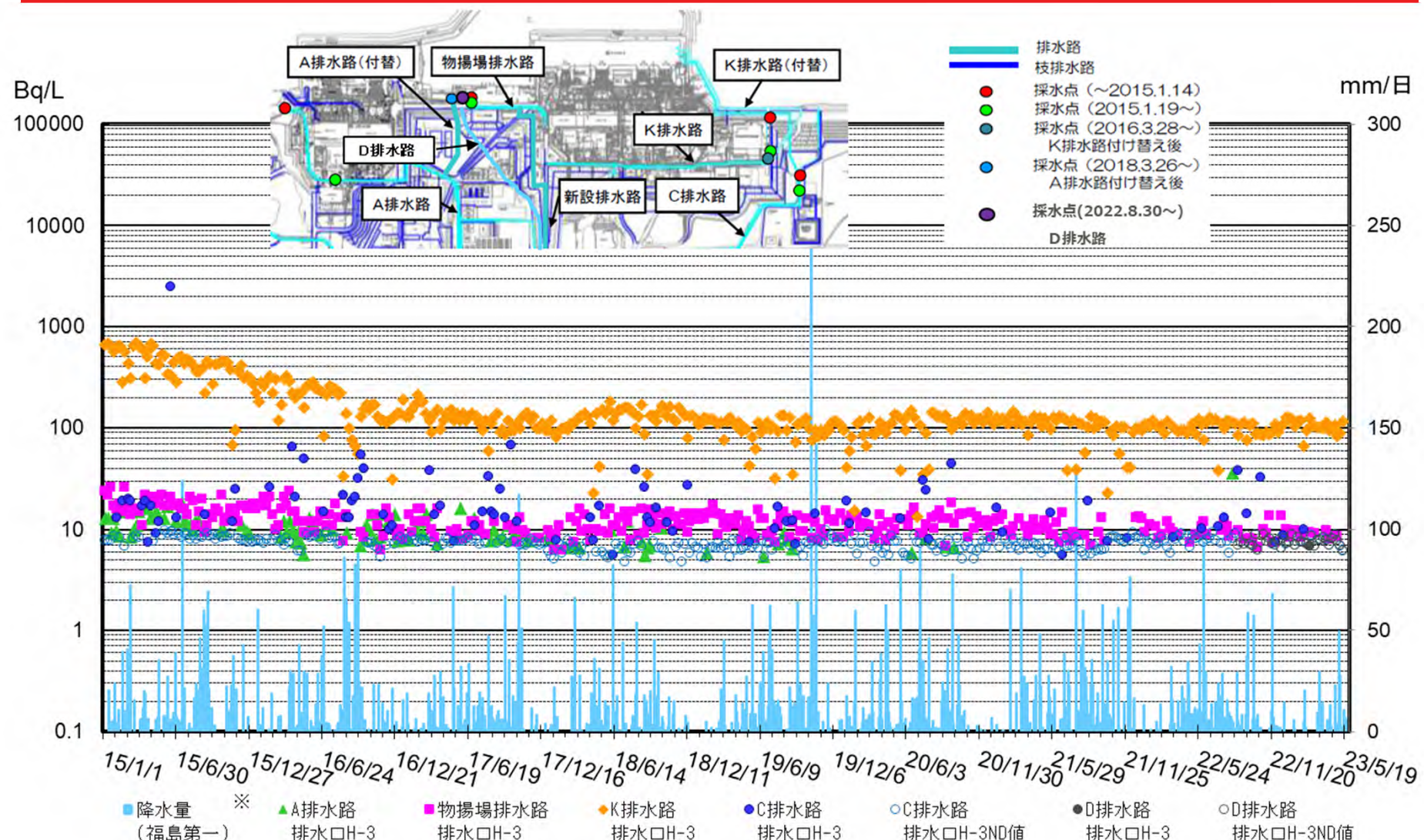


※:2017/5/13～5/15 欠測につき浪江アメダスのデータを使用。

注:検出限界値未満の場合は○で示す。検出限界値は各地点とも同等。

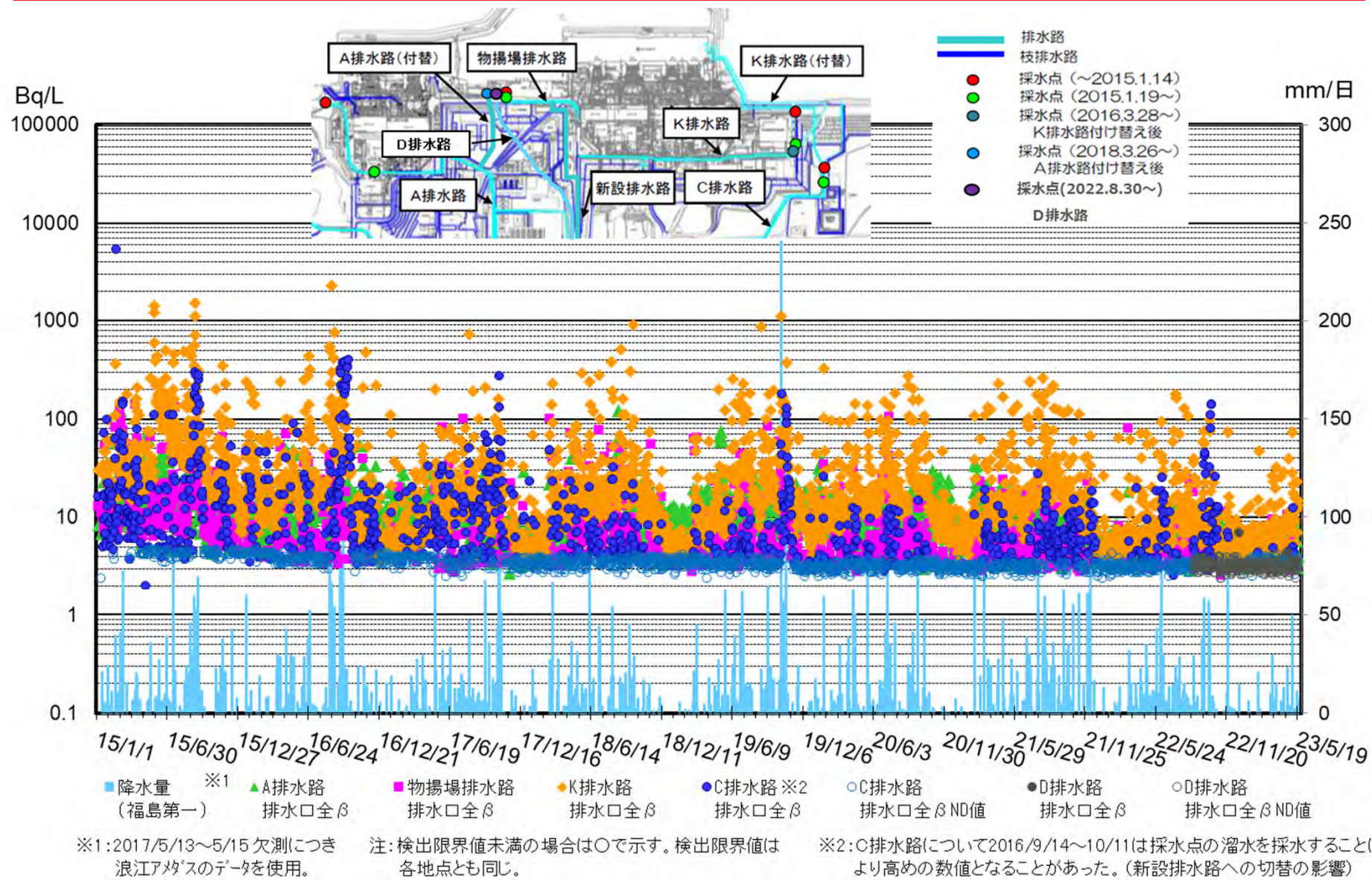
排水路の排水の濃度推移 (H-3)

TEPCO



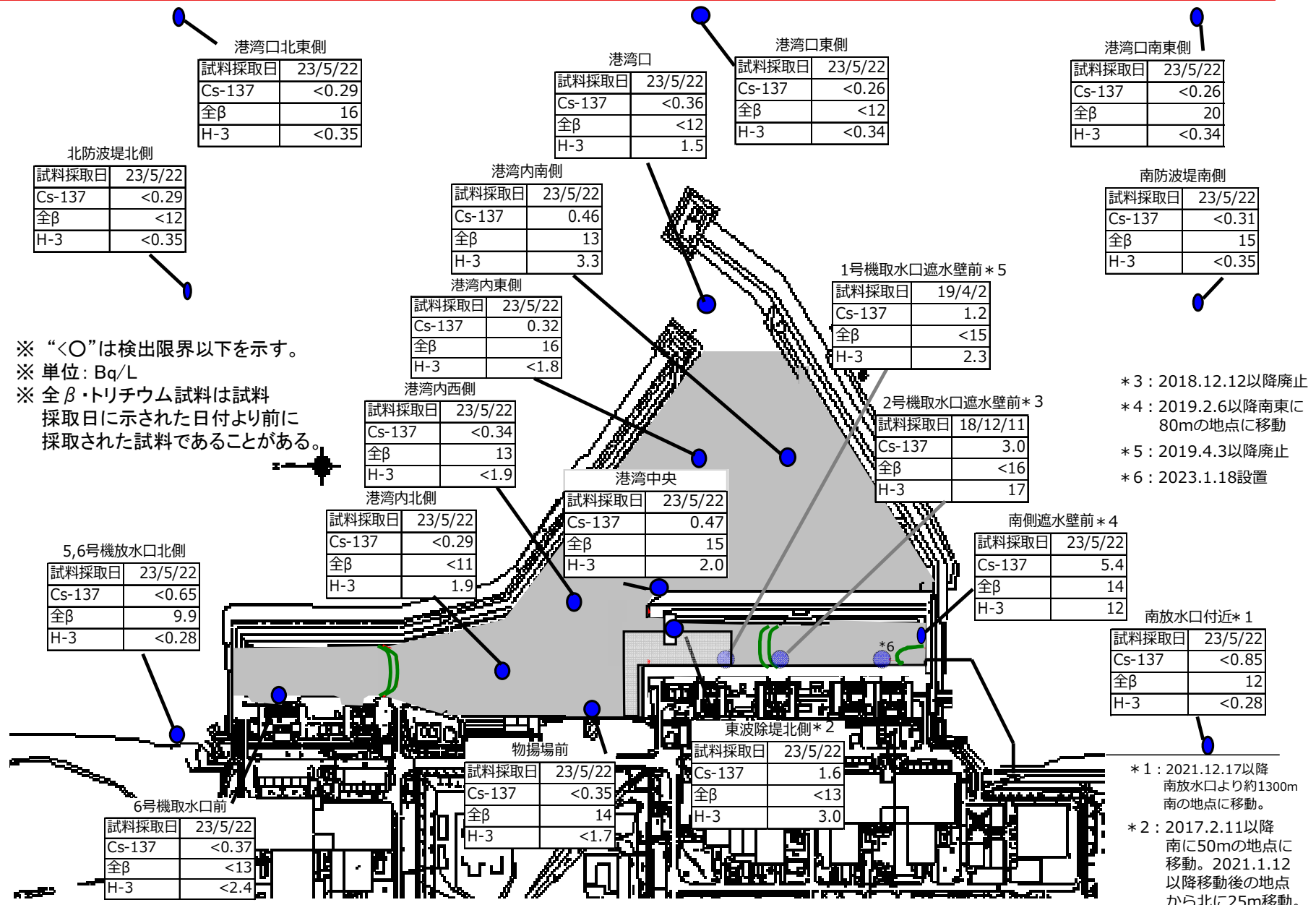
排水路の排水の濃度推移（全β）

TEPCO



港湾内外の海水濃度

TEPCO



<1～4号機取水路開渠内エリア>

- 告示濃度未満で推移しており、降雨時に一時的なCs-137濃度、Sr-90濃度の上昇が見られるが、長期的には低下傾向が見られる。
- 海側遮水壁鋼管矢板打設・継手処理の完了後、濃度の低下が見られる。
- メガフロート関連工事によりシルトフェンスを開渠中央へ移設した2019.3.20以降、Cs-137濃度について、南側遮水壁前が高め、東波除堤北側が低めで推移している。

<港湾内エリア>

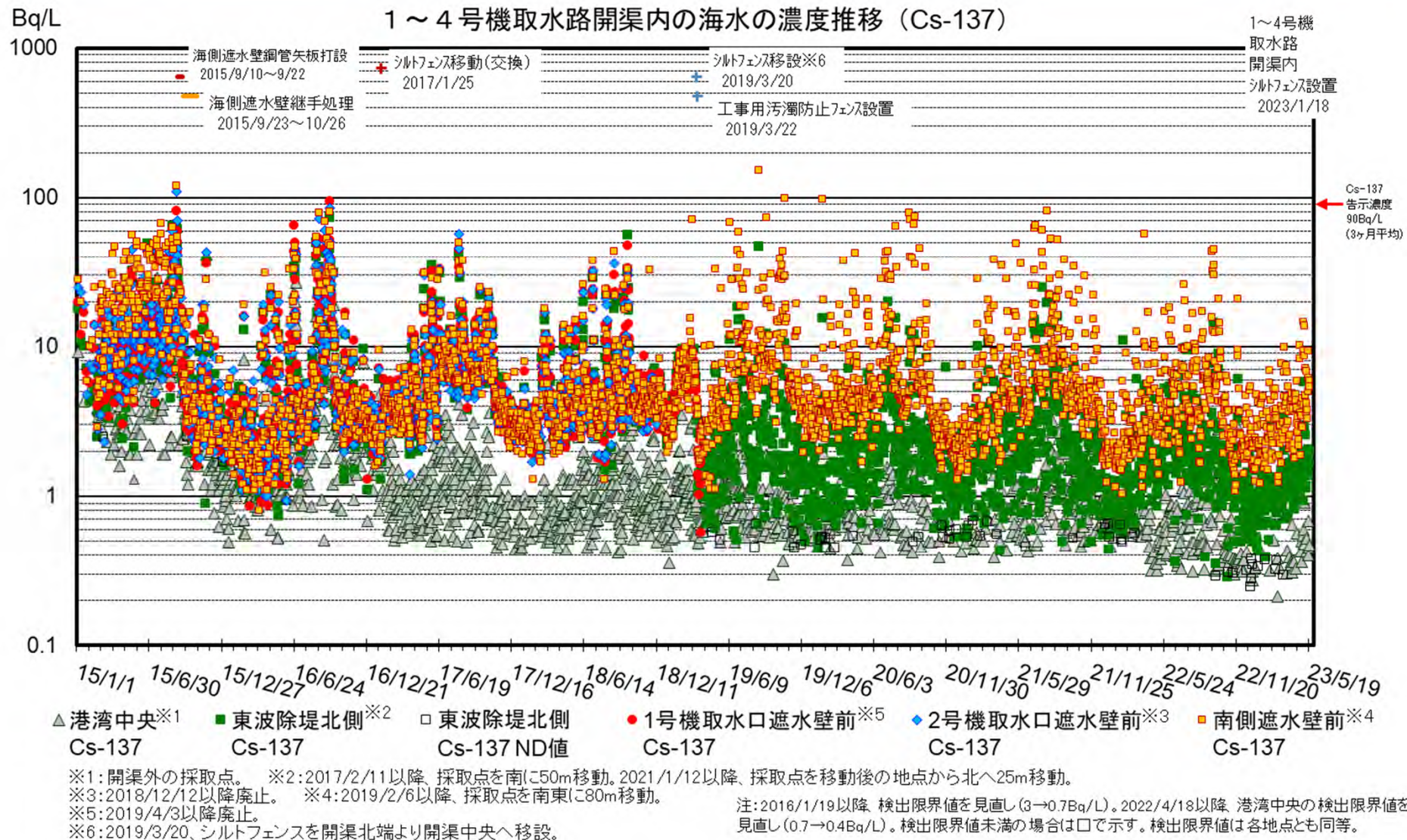
- 告示濃度未満で推移しており、降雨時に一時的なCs-137濃度、Sr-90濃度の上昇が見られるが、長期的には低下傾向が見られる。
- 1～4号機取水路開渠内エリアより低いレベルとなっている。
- 海側遮水壁鋼管矢板打設・継手処理の完了後、濃度の低下が見られる。

<港湾外エリア>

- 海側遮水壁鋼管矢板打設・継手処理の完了後、Cs-137濃度、Sr-90濃度の低下が見られ、低い濃度で推移している。
- Cs-137濃度は、5, 6号機放水口北側、南放水口付近で気象・海象等の影響により、一時的な上昇が観測される事がある。
- Sr-90濃度は、港湾外（南北放水口）で2021年度に変動が見られたが、気象・海象等による影響の可能性など引き続き傾向を注視していく。

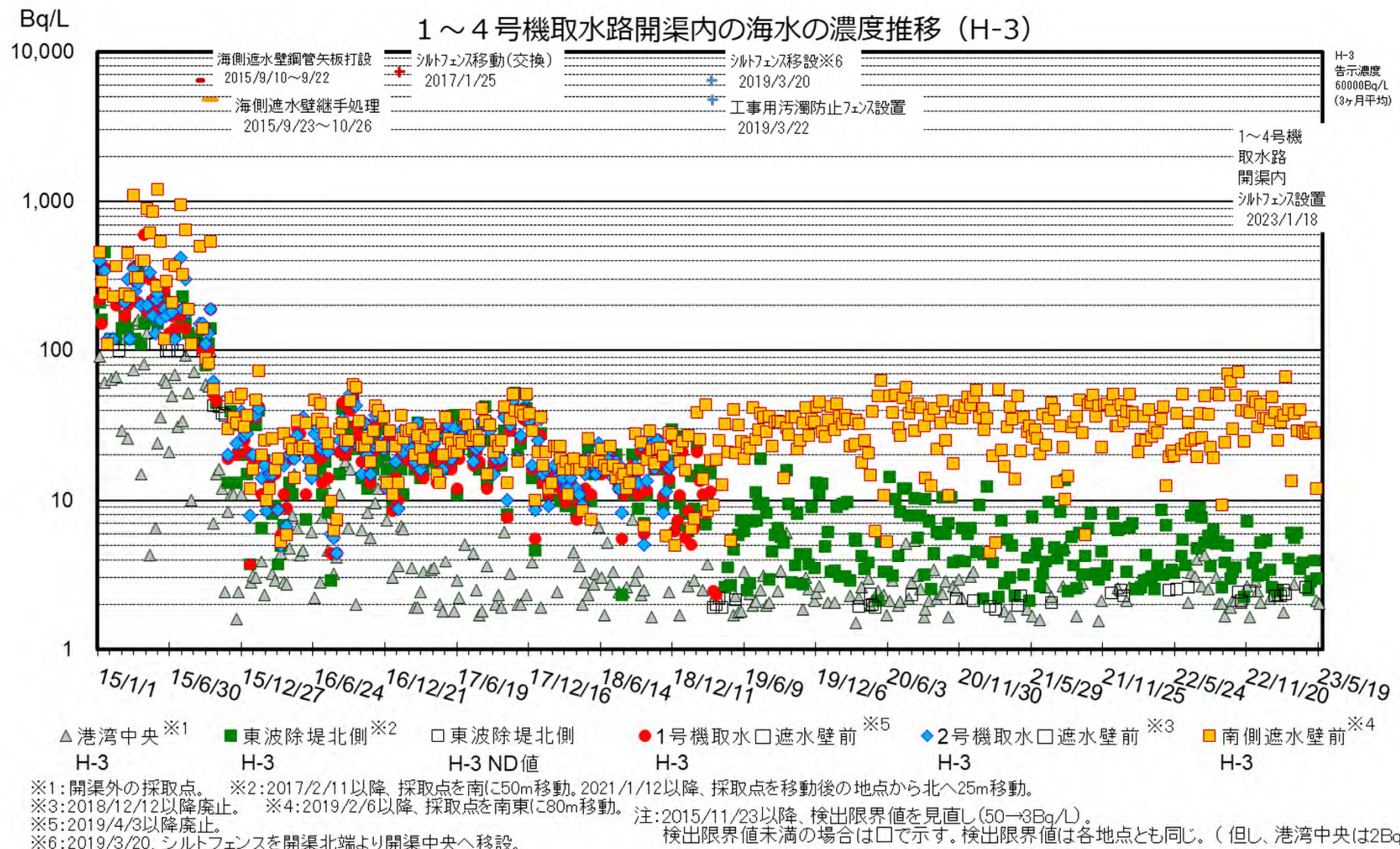
1～4号機取水路開渠内の海水の濃度推移（1/3）

TEPCO



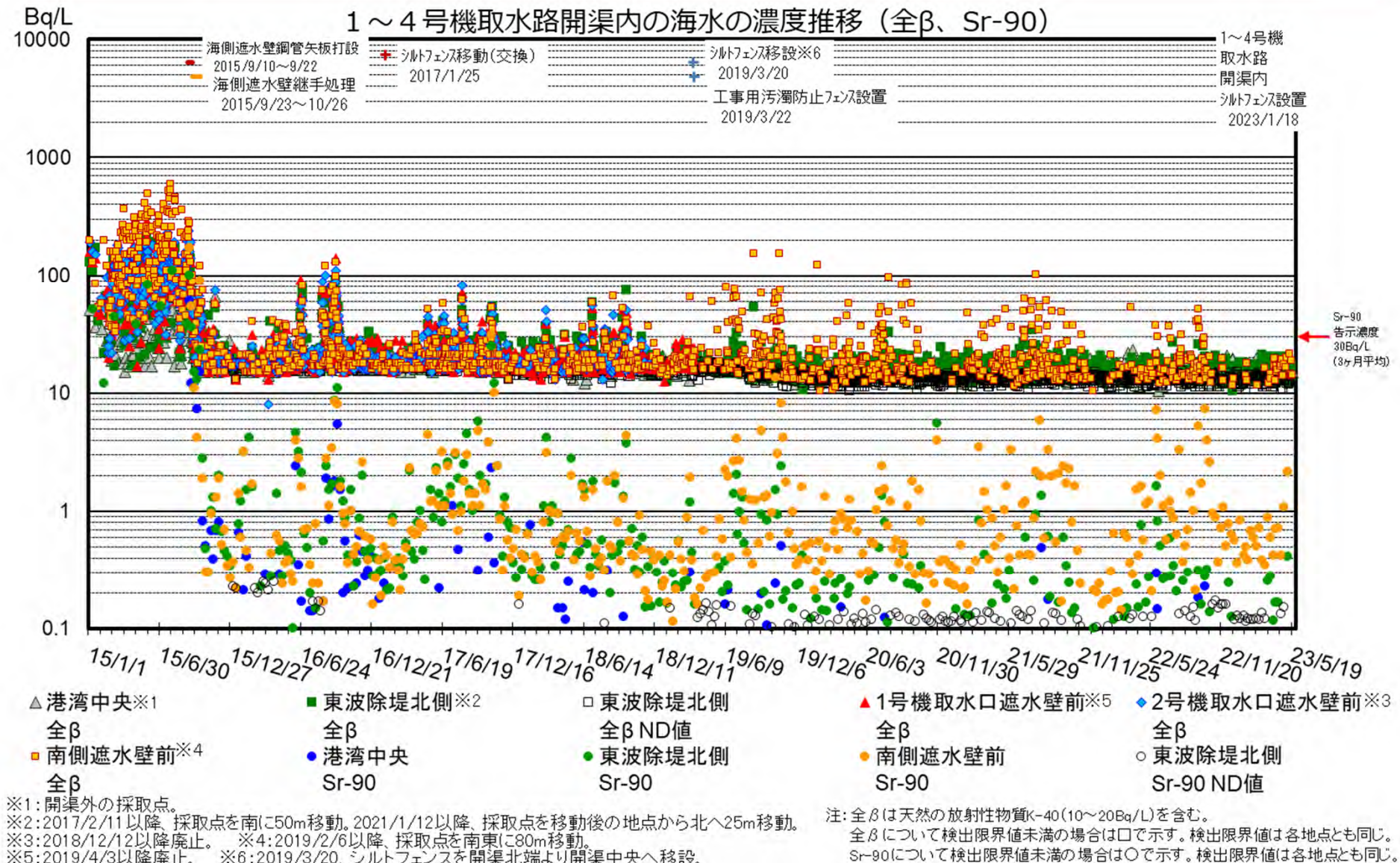
1～4号機取水路開渠内の海水の濃度推移（2/3）

TEPCO



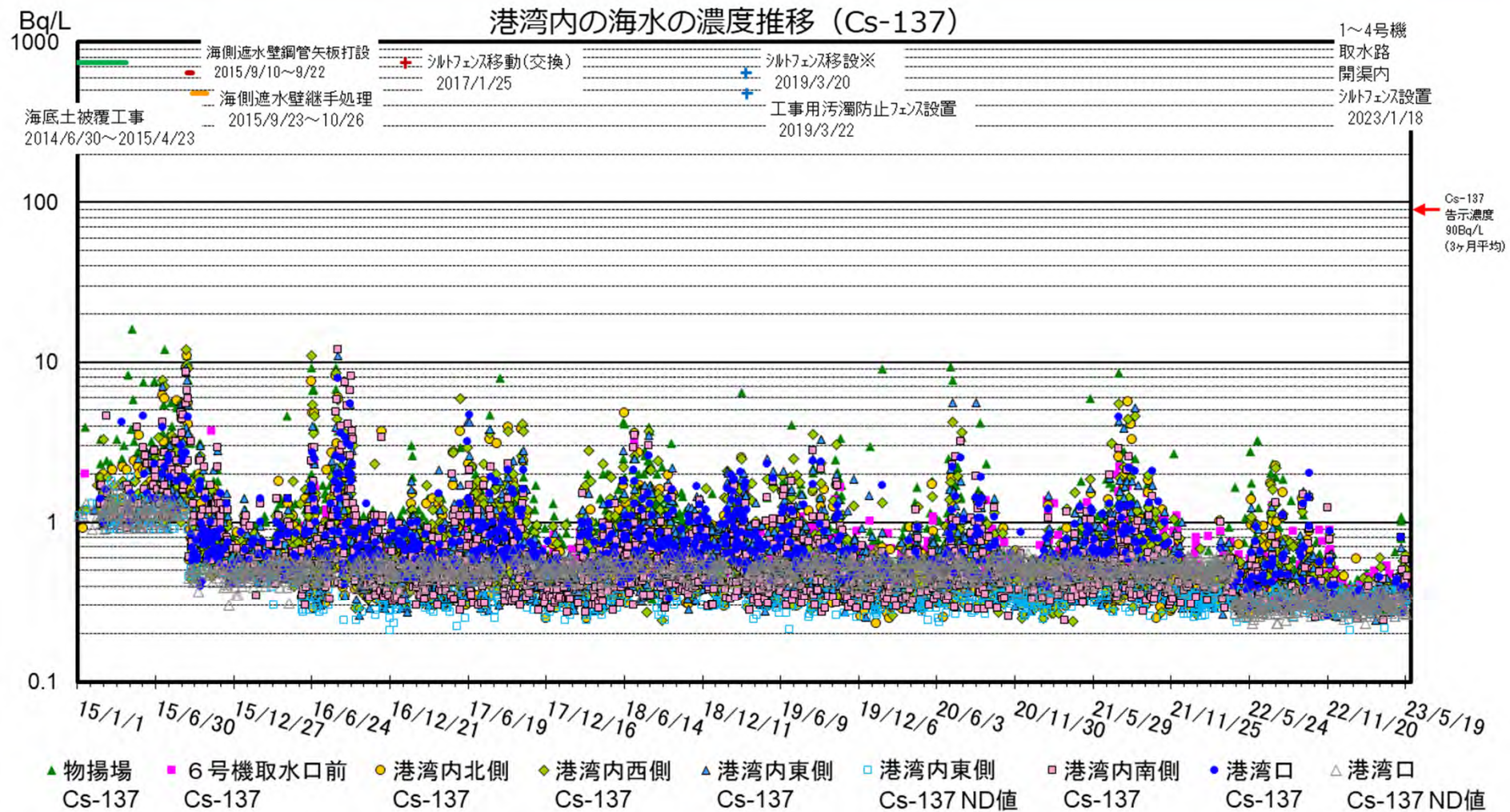
1～4号機取水路開渠内の海水の濃度推移（3/3）

TEPCO



港湾内の海水の濃度推移（1/3）

TEPCO



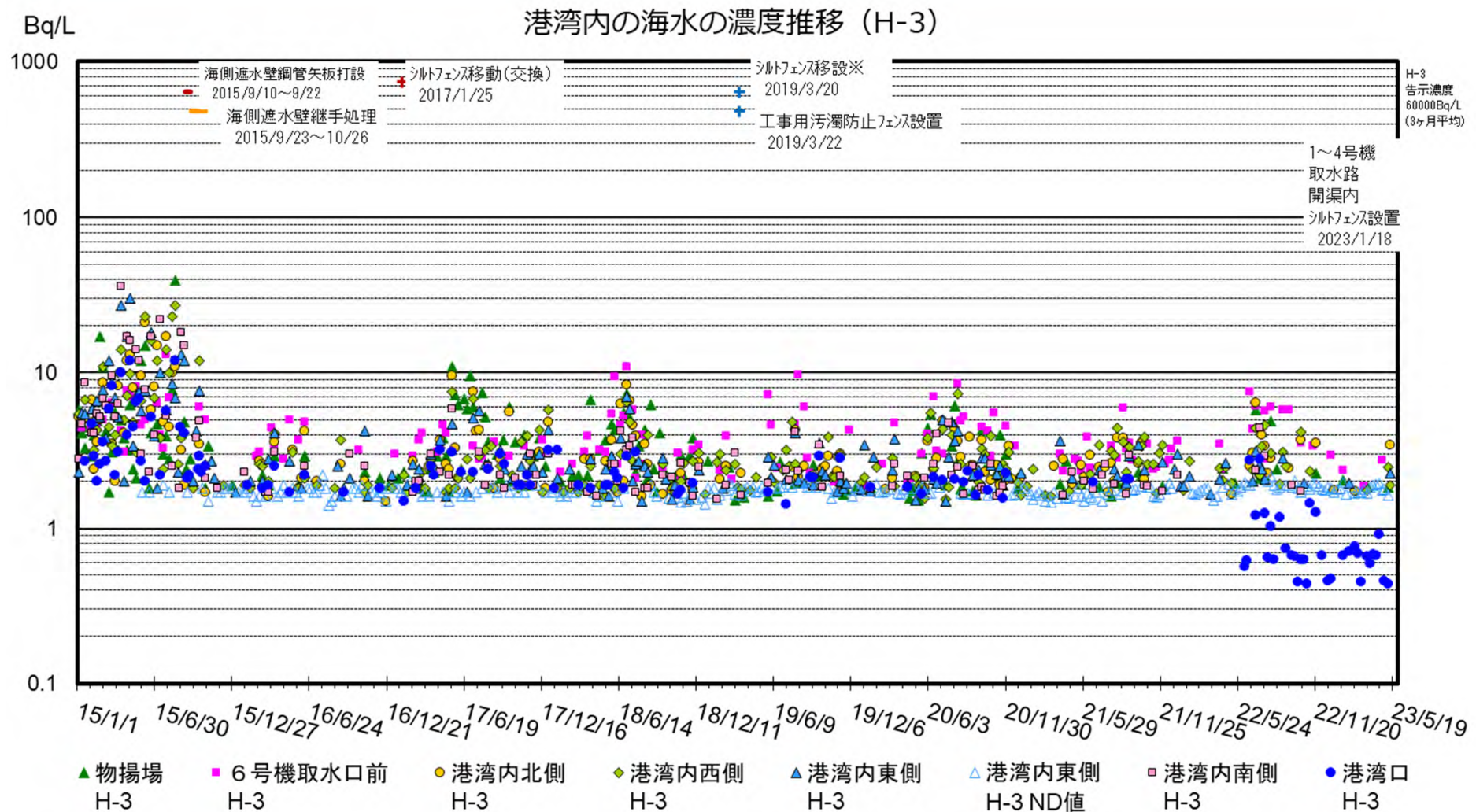
注: 2015/9/16以降 検出限界値を見直し(1.5→0.7Bq/L)。

港湾口が検出限界値未満の場合は△で示す。(検出限界値は物揚場、6号機取水口前も同等)

港湾内北側・西側・東側・南側について2016/6/1以降、検出限界値を見直し(0.7→0.4Bq/L)。検出限界値未満の場合は、□で示す。※:2019/3/20、シルトフェンスを開渠北端より開渠中央へ移設。
2022/4/18以降、港湾口の検出限界値を見直し(1→0.4Bq/L)。

港湾内の海水の濃度推移 (2/3)

TEPCO

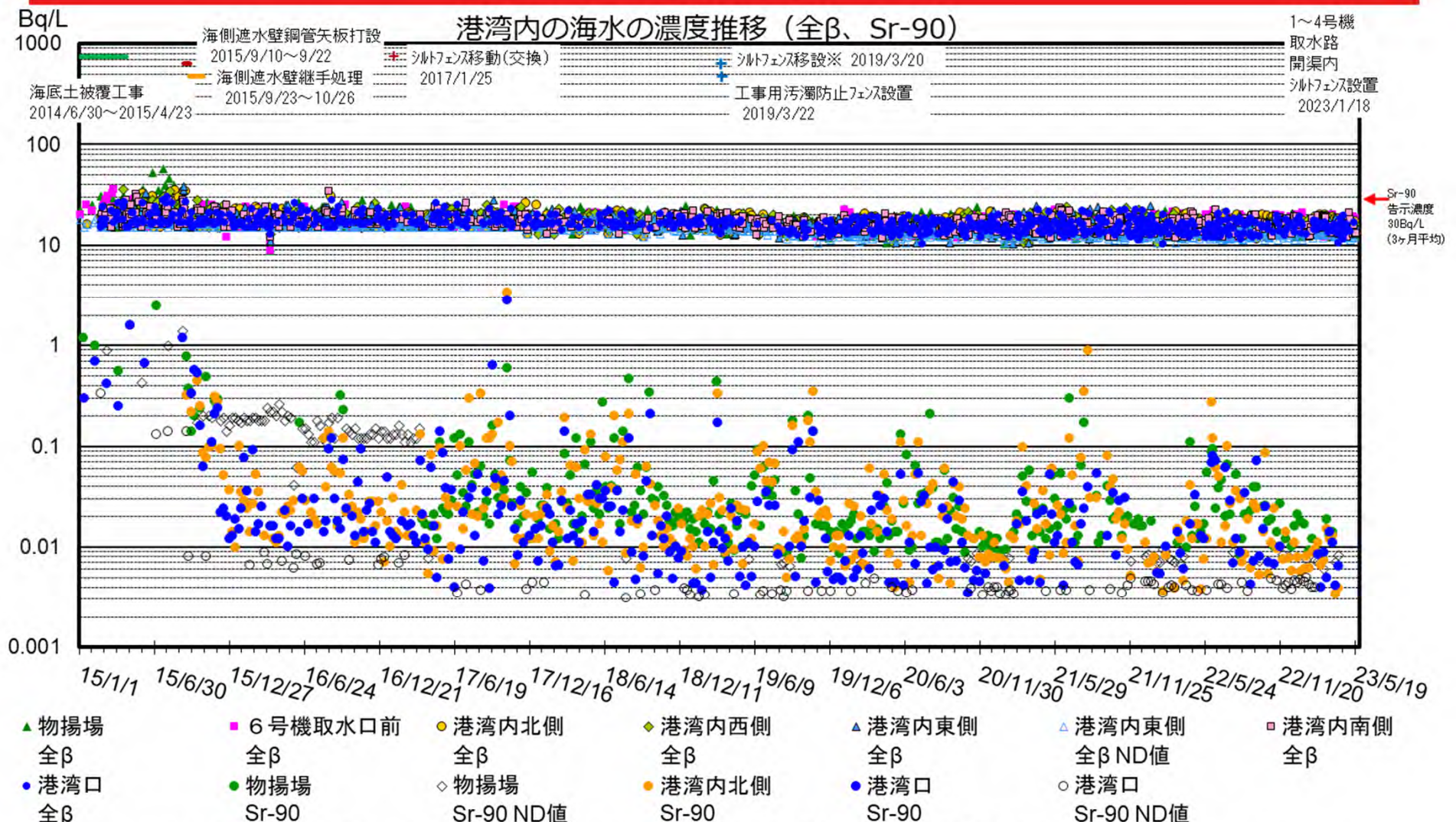


※: 2019/3/20、シルトフェンスを開渠北端より開渠中央へ移設。

注 : 2022/6/1以降、港湾口の検出限界値を見直し (3→0.4Bq/L)。

港湾内の海水の濃度推移 (3/3)

TEPCO



注: 全βは天然の放射性物質K-40(10～20Bq/L)を含む。全βについて、検出限界未満の場合は△で示す(検出限界値は各地点とも同じ)。

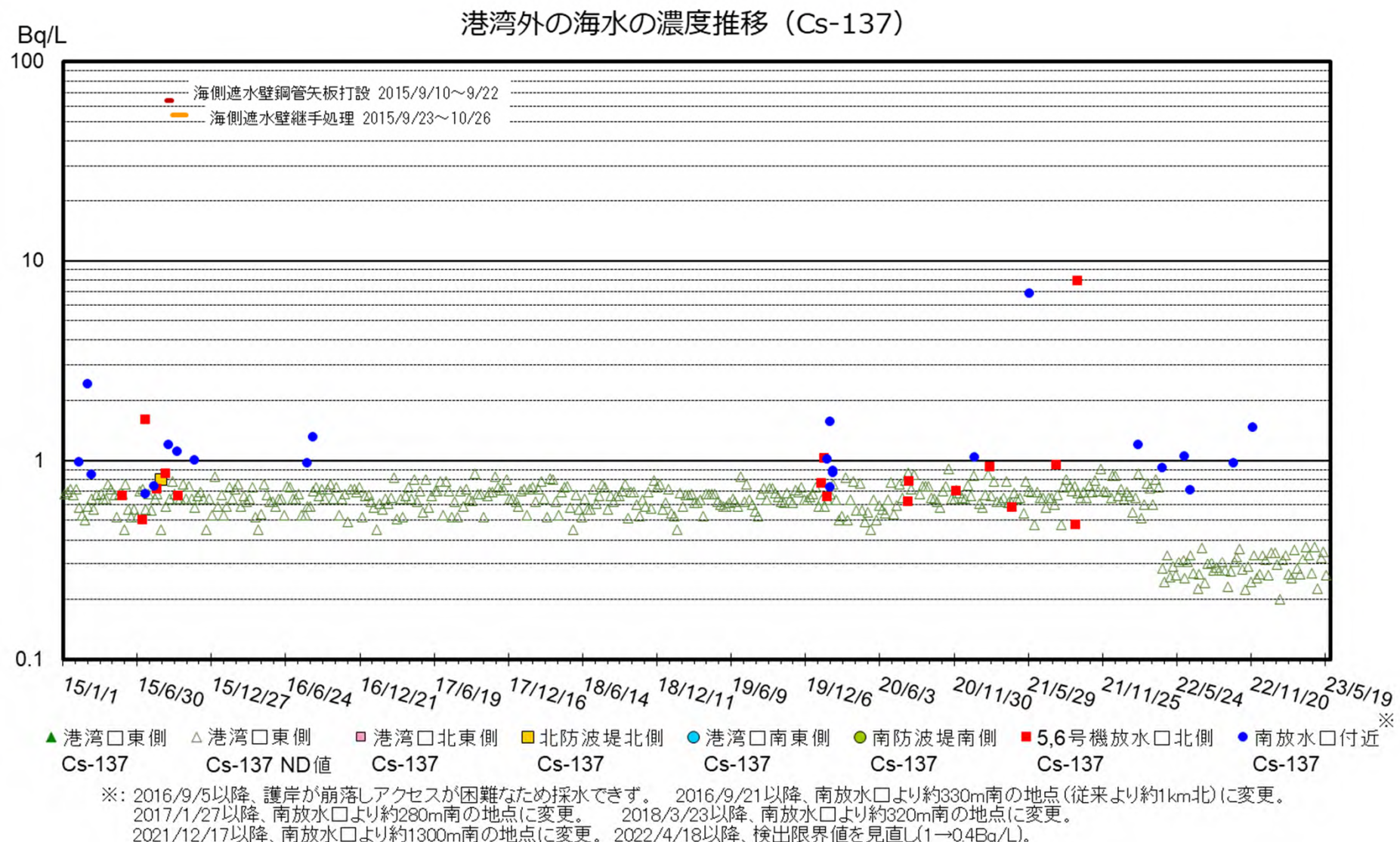
Sr-90について、物揚場が検出限界未満の場合は△で示す。2017/4/3以降、検出限界値を見直し(0.3→0.01Bq/L)。

港湾口が検出限界未満の場合は○で示す(検出限界値は港湾内北側も同じ)。

※:2019/3/20、シルトフェンスを開渠北端より開渠中央へ移設。

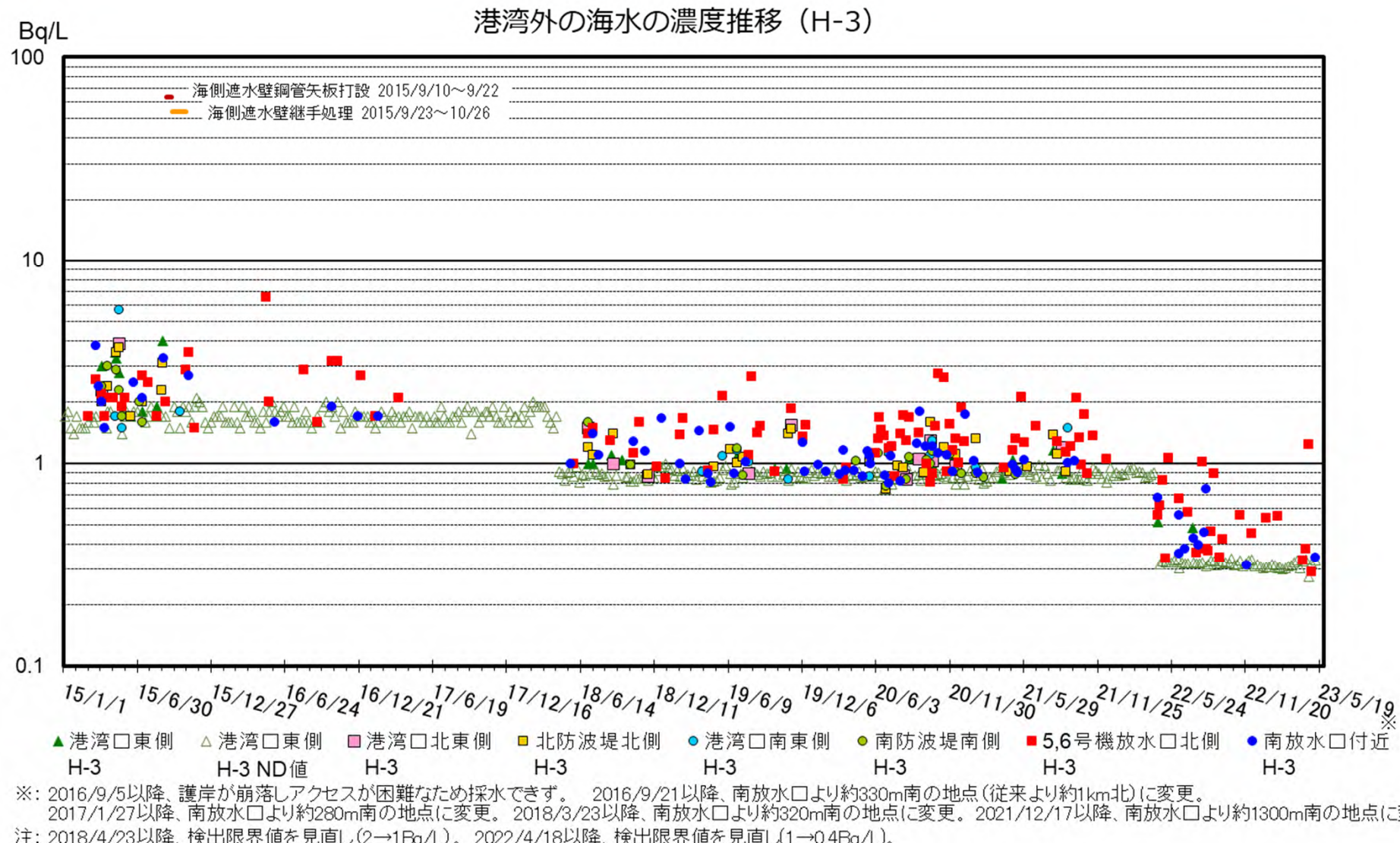
港湾外の海水の濃度推移 (1/3)

TEPCO



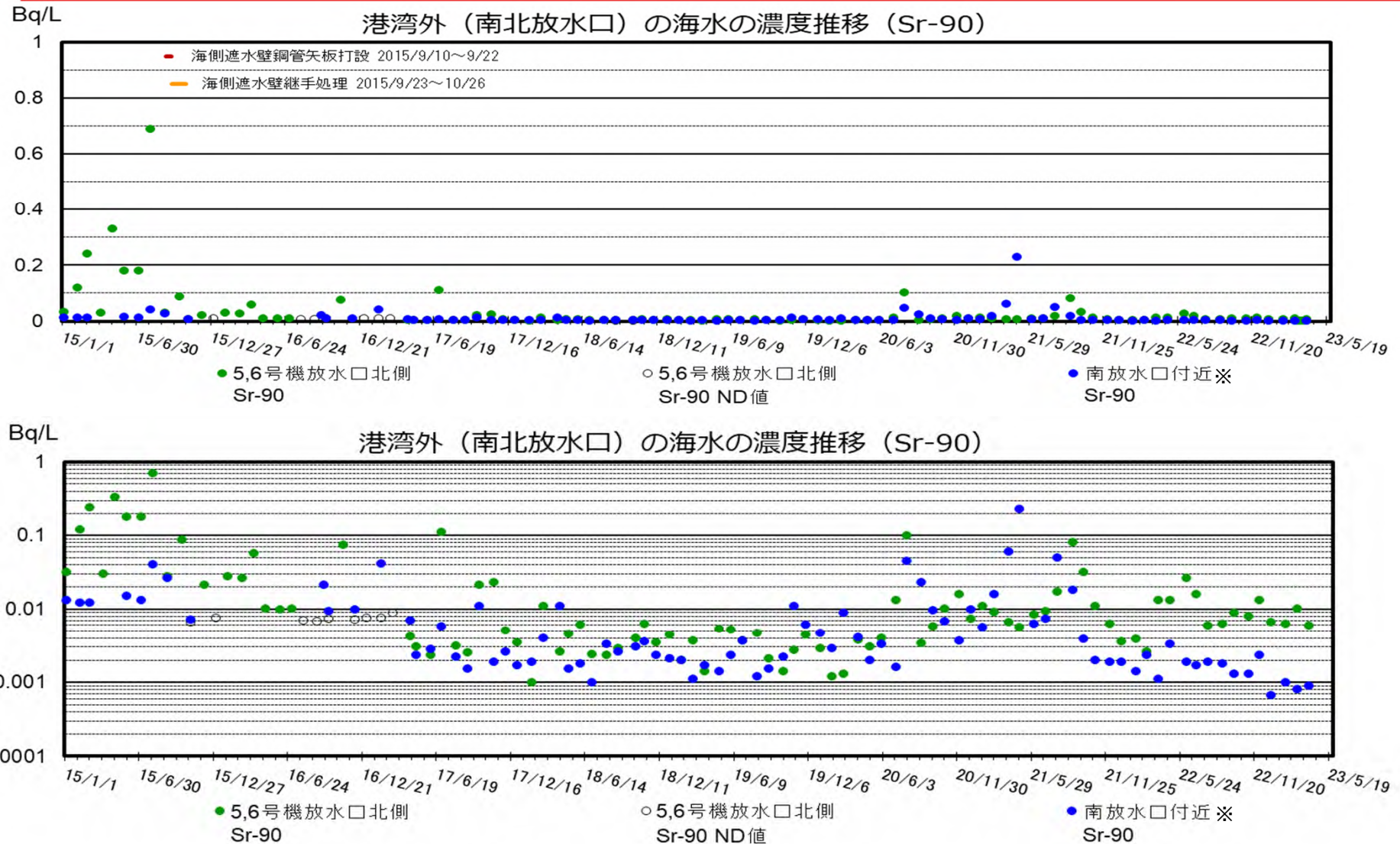
港湾外の海水の濃度推移（2/3）

TEPCO



港湾外の海水の濃度推移（3/3）

TEPCO

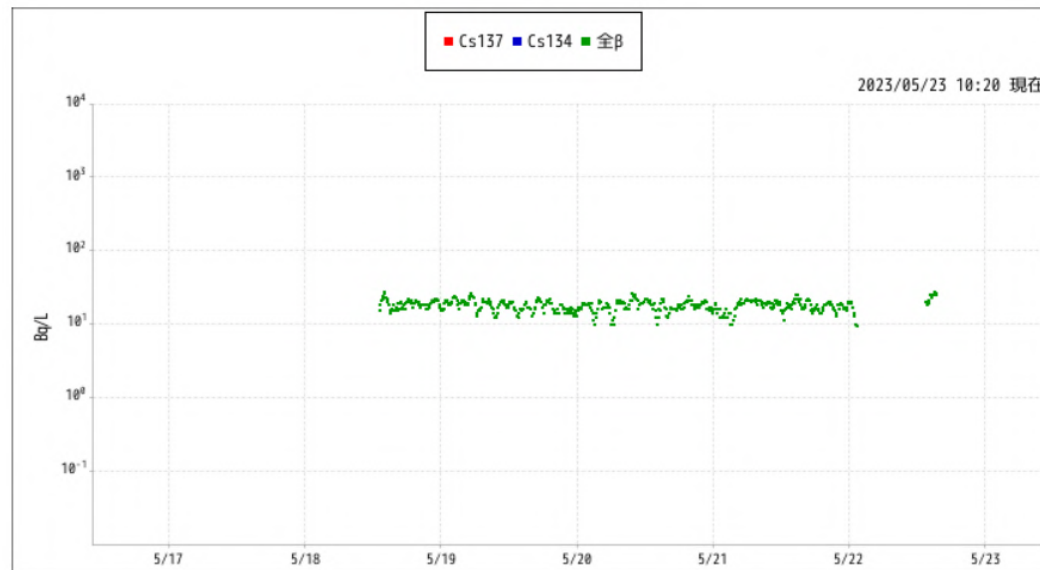


注: 2017/4/17以降、検出限界値を見直し(0.01→0.001Bq/L)。
検出限界値未満の場合は○で示す。検出限界値は各地点とも同じ。

※: 2016/9/5以降、護岸が崩落しアクセスが困難なため採水できず。2016/9/21以降、南放水口より約330m南の地点(従来より約1km北)に変更。2017/1/27以降、南放水口より約280m南の地点に変更。2018/3/23以降、南放水口より約320m南の地点に変更。2021/12/17以降、南放水口より約1300m南の地点に変更

<参考>港湾口海水モニタの測定結果

TEPCO



※検出限界値未満 (ND) の場合は、グラフにデータが表示されません。

(検出限界値)

- セシウム (Cs)134 : 0.02 Bq/L
- セシウム (Cs)137 : 0.05 Bq/L
- 全β : 8.7 Bq/L

※海水放射線モニタは、荒天により海上が荒れた場合、巻き上がった海底砂の影響等により、データが変動する場合があります。

※設備清掃後は、検出槽に付着していた放射性物質が除去されることによりセシウム濃度のデータが低下します。

※参考 「福島第一原子力発電所原子炉施設の保安及び特定核燃料物質の防護に関する規則」に定める告示濃度限度は、以下の通り。

- セシウム (Cs)134 : 60 Bq/L
- セシウム (Cs)137 : 90 Bq/L

- 2023年5月22日1時27分にβ線水サンプラポンプ出口圧力が高くなつたことで全βの測定が停止しました。フィルターの交換を行い、同日13時38分に復旧しております。
- 2023年5月22日、23日に取水部の海藻除去作業を計画しております。作業に伴いデータ伝送が停止いたします。なお、23日の作業が終了し次第、データ伝送を再開致します。
- 2023年5月8日11時20分に取水ポンプ出口圧力が低下したことにより装置が停止しました。停止後現場にて復旧を試みたところ、作業中に海水が汲み上がらない事象が確認されました。取水ポンプの故障と考えられたことからポンプの交換作業を行ったあと、清掃作業を行い、2023年5月18日13時04分に復旧しております。
- 設備の不具合および清掃・点検保守作業等により、データが欠測する場合があります。

1~4号機原子炉建屋からの追加的放出量の評価結果(2023年4月)

【評価の目的】

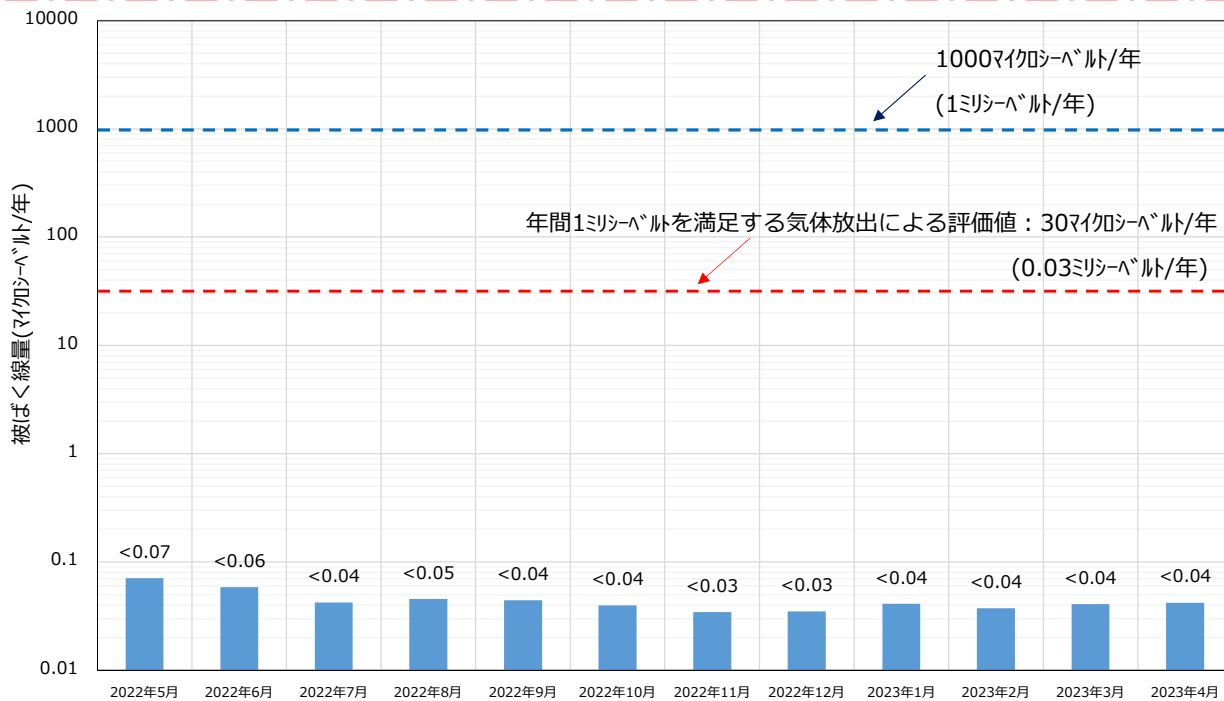
- 廃炉作業の進捗による周辺環境への影響を確認するとともに、1~4号機の安定冷却状況を確認するため、追加的放出量を毎月評価し、それを基に一般公衆への被ばく線量を評価すること。

【評価結果】

- 2023年4月における1~4号機原子炉建屋からの追加的放出量を評価した結果、 1.3×10^4 (ベクレル/時)未満であり、放出管理の目標値(1.0×10^7 ベクレル/時)を下回っていることを確認した。
- 本評価値における敷地境界の空气中放射性物質濃度は Cs-134: 2.1×10^{-12} (ベクレル/cm³)、Cs-137: 1.9×10^{-12} (ベクレル/cm³)であり告示濃度※1を下回っていることを確認した。また、本評価値が1年間継続した場合、敷地境界における被ばく線量は、年間0.04マイクロシーベルト未満(0.00004ミリシーベルト未満)であり、年間30マイクロシーベルト(0.03ミリシーベルト※2)と比較し十分に小さい値である。

※1 東京電力株式会社福島第一原子力発電所原子炉施設の保安及び特定核燃料物質の防護に関する規則に定める告示濃度限度(周辺監視区域外の空气中の濃度限度)は Cs-134 : 2×10^{-5} (ベクレル/cm³)、Cs-137 : 3×10^{-5} (ベクレル/cm³)である。

※2 「特定原子力施設に係る実施計画」(以下、実施計画)において敷地境界における一般公衆の被ばく線量1ミリシーベルト/年を満たすための気体の放出による被ばく線量は、年間30マイクロシーベルト(0.03ミリシーベルト)としている。また、その評価に用いた放出量(1.0×10^7 ベクレル/時)を、放出管理の目標値として定めている。



*1 被ばく線量は1~4号機の放出量評価値と5, 6号機の測定実績に基づき算出。

(2019年10月公表分まで、5, 6号機の被ばく線量は、運転中の評価値0.17マイクロシーベルトを一律加算していた。見直し前後の被ばく線量は、2019年11月28日 廃炉・汚染水対策チーム会合 第72回事務局会議資料に掲載。)

*2 5, 6号機は当月の測定結果が検出限界値未満であったことから被ばく影響はないとした。

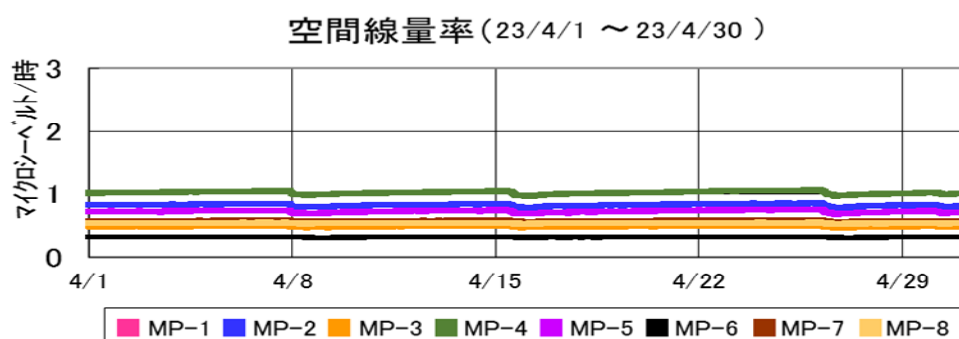
【評価手法】

- 1～4号機原子炉建屋からの放出量(セシウム)は各号機の放出箇所ごとに放出量を計算して、その合計値としている。
(計算に使用したデータについては別紙参照)
- 放出量は過小評価にならないように条件を設定※した以下の計算式より求めている。
放出量(ベクレル/時) = ①空気中放射性物質濃度(ベクレル/cm³) × ②月間漏洩率(cm³/時)
①「空気中放射性物質濃度(ベクレル/cm³)」は連続ダストモニタデータを使って月間の変動を考慮した濃度を計算で求めている。(詳細は別紙の参考1参照)
②「月間漏洩率(cm³/時)」は放出箇所ごとに以下の評価手法で算出している。
 - ・原子炉上部の場合は評価時点の燃料の崩壊熱(MW)による蒸気発生量(cm³/時)。
 - ・排気設備の出口の場合は排気設備の定格流量(cm³/時)。
 - ・PCV ガス管理システムの場合は1ヶ月間の平均流量(cm³/時)。
 - ・建屋の開口部の場合は日々の外部風速、建屋内外圧、隙間面積から算出した月間漏洩率(cm³/時)。(詳細は別紙の参考2参照)
- 被ばく線量は年間の気象条件による大気拡散を考慮し、実施計画(Ⅲ章2.2)の評価方法と同様に計算している。
- 希ガスについては、格納容器ガス管理設備における分析結果から放出量を評価しているが、放出されるガンマ線実効エネルギーがセシウムに比べて小さく、被ばく経路も放射性雲の通過による外部被ばくのみとなるため、これによる被ばく線量は、セシウムによる被ばく線量に比べて小さいと評価している。

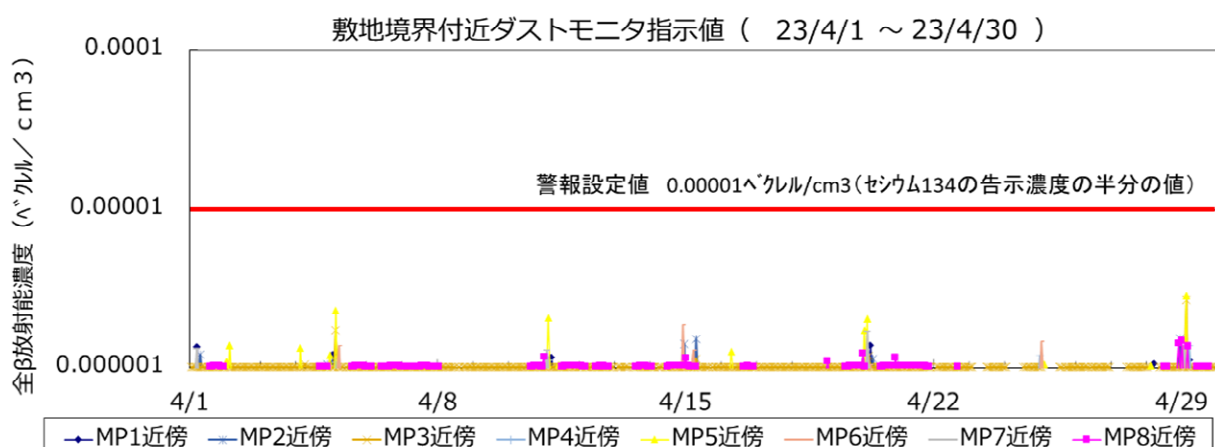
※設定した条件:①空気中放射性物質濃度の測定結果が検出限界値未満の場合、放出気体の空気中放射性物質濃度を検出限界値として放出量を算出している。

【モニタリングポスト及び敷地境界ダストモニタのトレンド】

- 空間放射線量
低いレベルで安定。

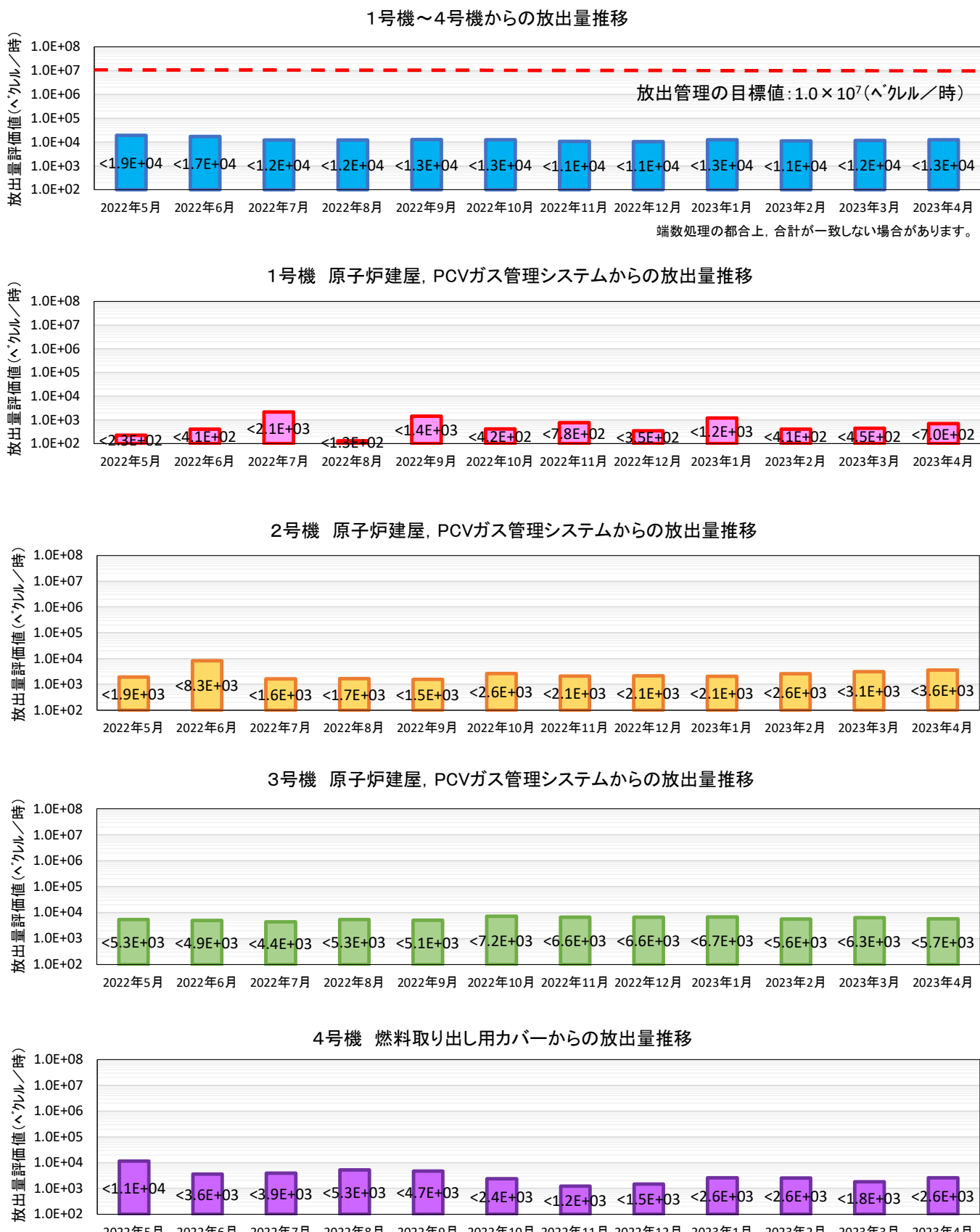


- 空気中の放射性物質
大きな上昇はなく、低い濃度で安定。

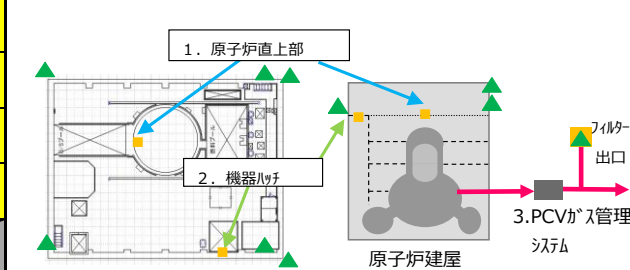
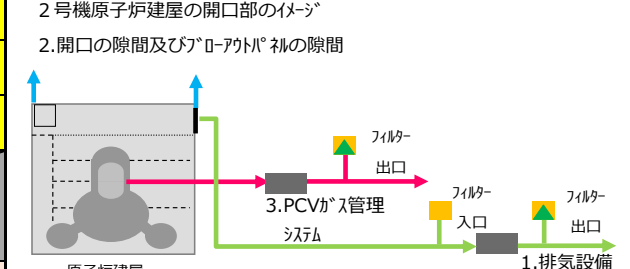
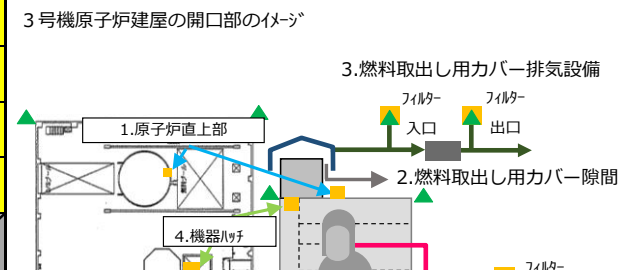


【各号機における放出量の推移】

1～4号機について、3月とほぼ同程度の放出量であった。



1~4号機原子炉建屋からの追加的放出量の評価結果 2023年4月 評価分（詳細データ）

		ダストモニタデータ (図中の▲で採取)		ダスト測定データ (図中の■で採取)			相対比		月間漏洩率評価		放出量評価		放出量評価の号機ごとの合計値								
	単位	▲ケル/cm ³	▲ケル/cm ³	月/日	▲ケル/cm ³	▲ケル/cm ³	(-)	cm ³ /時	月間漏洩率 算出方法	▲ケル/時	▲ケル/時	▲ケル/時	▲ケル/時								
1号機	1. 原子炉直上部 (ダストモニタ：原子炉建屋四隅の▲) (ダスト測定箇所：ウェル上の■)	①ダストモニタ (ダスト採取期間)	②ダストモニタ (ダスト採取期間)	ダスト 採取日	③ダスト測定結果 (Cs-134)	④ダスト測定結果 (Cs-137)	⑤Cs-134 (③÷①)	⑥Cs-137 (④÷①)	⑦月間漏洩率 2023年4月	Cs-134 (②×⑤×⑦)	Cs-137 (②×⑥×⑦)	Cs-134合計	Cs-137合計	1号機原子炉建屋の開口部のイメージ  月間平均値が一番高い箇所の ダストモニタの値を②に採用							
		1.6E-06	2.5E-06	4月13日	<8.3E-08	<9.9E-08	5.3E-02	6.3E-02	1.3E+08	<1.7E+01	<2.0E+01	<3.9E+02	<3.2E+02								
	2. 機器ハッチ (ダストモニタ：機器ハッチ近傍の▲) (ダスト測定箇所：機器ハッチ近傍の■)	①ダストモニタ (ダスト採取期間)	②ダストモニタ (ダスト採取期間)	ダスト 採取日	③ダスト測定結果 (Cs-134)	④ダスト測定結果 (Cs-137)	⑤Cs-134 (③÷①)	⑥Cs-137 (④÷①)	⑦月間漏洩率 参考2参照	Cs-134 (②×⑤×⑦)	Cs-137 (②×⑥×⑦)	1号機合計(Cs-134+Cs-137)									
		1.3E-06	2.3E-06	4月13日	<1.4E-07	1.1E-07	1.0E-01	8.2E-02	1.5E+09	<3.5E+02	2.8E+02	<7.0E+02									
	3. PCVガス管理システム (ダストモニタ：PCVガス管理設備フィルター出口の▲) (ダスト測定箇所：PCVガス管理設備フィルター出口の■)	①ダストモニタ (ダスト採取期間) (単位：cps)	②ダストモニタ (ダスト採取期間) (単位：cps)	ダスト 採取日	③ダスト測定結果 (Cs-134)	④ダスト測定結果 (Cs-137)	⑤Cs-134 (③÷①)	⑥Cs-137 (④÷①)	⑦月間漏洩率 計測値の月間 平均値	Cs-134 (②×⑤×⑦)	Cs-137 (②×⑥×⑦)	3. PCVガス管理システム 月間平均値が一番高い箇所の ダストモニタの値を②に採用									
		1.7E+01	1.5E+01	4月6日	<1.0E-06	<9.7E-07	6.3E-08	5.9E-08	2.0E+07	<1.9E+01	<1.7E+01										
		②希ガス (月間平均値)																			
		1.0E-01	②希ガス (月間平均値)												2.0E+07						
2号機	1. 排気設備出口 (ダストモニタ：排気設備フィルター出口の▲) (ダスト測定箇所：排気設備フィルター出口の■)	①ダストモニタ (ダスト採取期間)	②ダストモニタ (ダスト採取期間)	ダスト 採取日	③ダスト測定結果 (Cs-134)	④ダスト測定結果 (Cs-137)	⑤Cs-134 (③÷①)	⑥Cs-137 (④÷①)	⑦月間漏洩率 排気設備の定 格流量	Cs-134 (②×⑤×⑦)	Cs-137 (②×⑥×⑦)	Cs-134合計	Cs-137合計	2号機原子炉建屋の開口部のイメージ  2. 開口の隙間及びBOP隙間の隙間							
		2.0E-07	2.9E-07	4月20日	<1.5E-07	<9.9E-08	7.4E-01	4.9E-01	1.0E+10	<2.1E+03	<1.4E+03	<2.1E+03	<1.4E+03								
	2. 開口の隙間及びBOP隙間 (ダスト測定箇所：排気設備フィルター入口の■)	②希ガス (月間平均値)																			
		②希ガス (月間平均値)																			
		4.0E-05	1.5E-06	4月20日	<1.1E-06	<8.9E-07	1.0E-01	8.6E-02	1.7E+07	2号機合計(Cs-134+Cs-137)											
		1.0E-05	②希ガス (月間平均値)																		
	3. PCVガス管理システム (ダストモニタ：PCVガス管理設備フィルター出口の▲) (ダスト測定箇所：PCVガス管理設備フィルター出口の■)	②希ガス (月間平均値)																			
		2.7E+01	②希ガス (月間平均値)																		
3号機	1. 原子炉直上部 (ダストモニタ：原子炉建屋四隅の▲) (ダスト測定箇所：ウェル上の■)	①ダストモニタ (ダスト採取期間)	②ダストモニタ (ダスト採取期間)	ダスト 採取日	③ダスト測定結果 (Cs-134)	④ダスト測定結果 (Cs-137)	⑤Cs-134 (③÷①)	⑥Cs-137 (④÷①)	⑦月間漏洩率 2023年4月	Cs-134 (②×⑤×⑦)	Cs-137 (②×⑥×⑦)	Cs-134合計	Cs-137合計	3号機原子炉建屋の開口部のイメージ  3. 燃料取り出し用カバー隙間の隙間							
		6.4E-06	6.5E-06	4月5日	<1.2E-07	1.5E-06	1.8E-02	2.3E-01	1.6E+08	<1.9E+01	2.4E+02	<2.6E+03	<3.1E+03								
	2. 燃料取り出し用カバー隙間 (ダストモニタ：燃料取り出し用カバーフィルター入口の▲) (ダスト測定箇所：燃料取り出し用カバーフィルター入口の■)	①ダストモニタ (ダスト採取期間)	②ダストモニタ (ダスト採取期間)	ダスト 採取日	③ダスト測定結果 (Cs-134)	④ダスト測定結果 (Cs-137)	⑤Cs-134 (③÷①)	⑥Cs-137 (④÷①)	⑦月間漏洩率 参考2参照	Cs-134 (②×⑤×⑦)	Cs-137 (②×⑥×⑦)	3号機合計(Cs-134+Cs-137)									
		1.3E-05	1.1E-05	4月5日	<7.6E-08	2.6E-07	5.7E-03	2.0E-02	3.1E+09	<1.9E+02	6.6E+02	<5.7E+03									
		6.5E-06	6.3E-06	4月5日	<8.2E-08	<7.4E-08	1.3E-02	1.1E-02	3.0E+10	<2.4E+03	<2.2E+03										
		9.7E-06	9.3E-06	4月5日	<1.1E-07	<9.8E-08	1.2E-02	1.0E-02	2.4E+07												
	5. PCVガス管理システム (ダストモニタ：PCVガス管理設備フィルター出口の▲) (ダスト測定箇所：PCVガス管理設備フィルター出口の■)	①ダストモニタ (ダスト採取期間)	②ダストモニタ (ダスト採取期間)	ダスト 採取日	③ダスト測定結果 (Cs-134)	④ダスト測定結果 (Cs-137)	⑤Cs-134 (③÷①)	⑥Cs-137 (④÷①)	⑦月間漏洩率 排気設備の定 格流量	Cs-134 (②×⑤×⑦)	Cs-137 (②×⑥×⑦)	5. PCVガス管理システム 月間平均値が一番高い箇所の ダストモニタの値を②に採用									
		3.2E-05	2.5E-05	4月5日	<1.4E-06	<7.7E-07	4.3E-02	2.4E-02	2.2E+07	<2.4E+01	<1.3E+01										
		4.1E+01	②希ガス (月間平均値)																		
		②希ガス (月間平均値)																			
4号機	1. 燃料取り出し用カバー隙間 (ダストモニタ：燃料取り出し用カバーフィルター入口の▲) (ダスト測定箇所：燃料取り出し用カバーフィルター入口の■)	①ダストモニタ (ダスト採取期間)	②ダストモニタ (ダスト採取期間)	ダスト 採取日	③ダスト測定結果 (Cs-134)	④ダスト測定結果 (Cs-137)	⑤Cs-134 (③÷①)	⑥Cs-137 (④÷①)	⑦月間漏洩率 参考2参照	Cs-134 (②×⑤×⑦)	Cs-137 (②×⑥×⑦)	Cs-134合計	Cs-137合計	4号機原子炉建屋の開口部のイメージ  1. 燃料取り出し用 カバーフィルター 入口							
		4.3E-07	5.1E-07	4月10日	<8.8E-08	<9.0E-08	2.1E-01	2.1E-01	7.5E+09	<7.9E+02	<8.1E+02	<1.4E+03	<1.2E+03								

【解説】1~4号機原子炉

■でダスト採取していた期間と同時に▲で測定している全β値を記載している。

【例】2020年4月 評価分（詳細データ）

測定箇所	ダストモニタデータ (図中の▲で採取)		ダスト採取し測定したCs-134と Cs-137の値を記載している。		相対比		月間漏洩率評価		原子炉直上部からの月間漏洩率を 記載している。参考1参照。	放出量評価の号機ごとの合計値		
	▲/cm ³	▲/cm ³	月/日	▲/cm ³	▲/cm ³	(-)	cm ³ /時	月間漏洩率 算出方法				
1. 原子炉直上部 (ダストモニタ：原子炉建屋四隅の▲) (ダスト測定箇所：ウェル上の■)	①ダストモニタ (ダスト採取期間)	②ダストモニタ (月間平均)	ダスト 採取日	③ダスト測定結果 (Cs-134)	④ダスト測定結果 (Cs-137)	⑤Cs-134 (③÷①)	⑥Cs-137 (④÷①)	⑦月間漏洩率 2020年4月 現在の崩壊熱 量より評価	Cs-134 (②×⑤×⑦)	Cs-137 (②×⑥×⑦)	Cs-134合計	Cs-137合計
	2.1E-06	2.5E-06	4月6日	<8.4E-08	2.1E-07	2.1E-02	9.7E-02	1.5E+08	<1.5E+01	3.7E+01	<1.9E+02	<4.2E+02
2. 機器ハッチ (ダストモニタ：機器ハッチ近傍の▲) (ダスト測定箇所：機器ハッチ近傍の■)	①ダスト モニタ	②ダスト モニタ (月間平均)	ダスト 採取日	③ダスト測定結果 (Cs-134)	④ダスト測定結果 (Cs-137)	⑤Cs-134 (③÷①)	⑥Cs-137 (④÷①)	⑦月間漏洩率 参考2参照	Cs-134 (②×⑤×⑦)	Cs-137 (②×⑥×⑦)	1号機合計(Cs-134+Cs-137)	<6.1E+02
	2.5E-06	4月6日	<9.8E-08	2.2E-07	2.2E-02	9.7E-02	1.5E+08	<1.5E+01	3.7E+01	<3.0E+01	<3.3E+01	
3. PCVガス管理システム (ダストモニタ：PCVガス管理設備フィルター出口の▲) (ダスト測定箇所：PCVガス管理設備フィルター出口の■)	①ダストモニタ (ダスト採取期間)	②ダストモニタ (月間平均)	ダスト 採取日	③ダスト測定結果 (Cs-134)	④ダスト モニタ (月間平均)	⑤Cs-134 (③÷①)	⑥Cs-137 (④÷①)	⑦月間漏洩率 参考2参照	Cs-134 (②×⑤×⑦)	Cs-137 (②×⑥×⑦)	Cs-134合計	Cs-137合計
	1.3E+01	1.3E+01	4月6日	<1.2E-06	<1.4E-06	9.3E-08	1.0E-07	2.5E+07	<3.0E+01	<3.3E+01	Kr-85 (②×⑦)	Kr被ばく線量 (Kr-85×24×365×2.5E-19×0.0022÷0.5×1E+03)
	②希ガス (月間平均)	3.1E-01						7.6E+06			7.3E-08 (ミリシーベルト/年)	

▲で測定した1ヶ月間の全β値の平均値を記載している。

▲で測定した1ヶ月間のKr-85の平均値を記載している。

■でダスト採取箇所を示す。▲でダストモニタを示す。■でフィルターを示す。

「1.原子炉直上部」と「2.機器ハッチ」と「3.PCVガス管理システム」のCs-134,Cs-137の合計値を記載している。

1号機原子炉建屋の開口部のイメージ

2号機原子炉建屋の開口部のイメージ

3号機原子炉建屋の開口部のイメージ

4号機原子炉建屋の開口部のイメージ

※ ○.○E-○とは、○.○×10^{-○}であることを意味する。

※ <○.○E-○とは、○.○×10^{-○}未満であることを意味する。

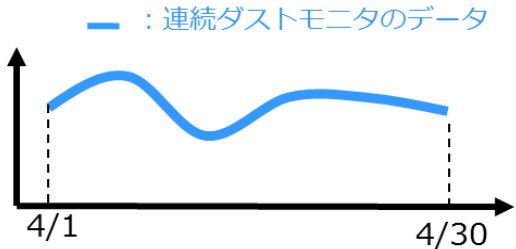
参考1 空気中放射性物質濃度の評価方法

月1回の空気中放射性物質濃度測定値と連続ダストモニタのデータから連続性を考慮した空気中放射性物質濃度を評価する。

● STEP1

月間の連続ダストモニタのトレンドを確認する。

※連続ダストモニタは、全βのため被ばく評価に使用できないため。



● STEP2

月1回の空気中放射性物質濃度測定値と連続ダストモニタの値を比較する。

・4月8日に月1回の空気中放射性物質濃度を測定 ①

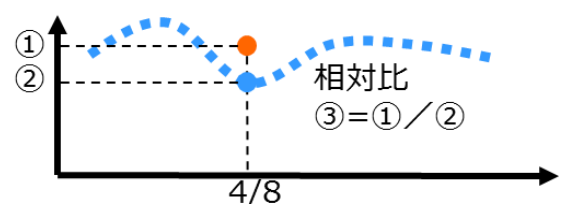
⇒核種毎(Cs-134, Cs-137)にデータが得られる。

・同時刻の連続ダストモニタの値を確認する。 ②

・上記2つのデータの相対比を評価する。 ③

③相対比 = ①空気中放射性物質濃度 ÷ ②ダストモニタの値

- : 空気中放射性物質濃度測定結果
- : 4月8日の連続ダストモニタデータ



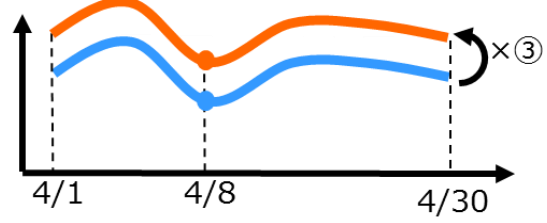
● STEP3

連続性を考慮した空気中放射性物質濃度を評価する。

・連続ダストモニタのデータに③相対比を乗じて、連続性を考慮した空気中放射性物質濃度を評価する。

● : 連続性を考慮した空気中放射性物質濃度

● : 連続ダストモニタデータ



参考2 建屋の開口部の月間漏洩率の評価方法

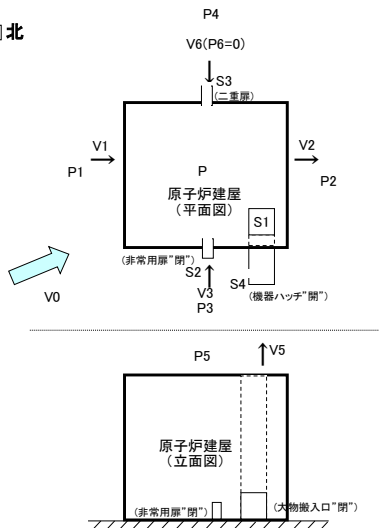
● 評価方法

月間漏洩率は日々の外部風速、建屋内外圧差、隙間面積などから計算で求める。

● 計算条件

北北西 2.2m/s

1号機建屋の月間漏洩率の計算例



風速をVとする、上流側、下流側の圧力は次のとおりとなる。
上流側(北風) : $P1=C1 \times \rho \times V0^2 / (2g)$... (1)
下流側(北風) : $P2=C2 \times \rho \times V0^2 / (2g)$... (2)
上流側(西風) : $P3=C3 \times \rho \times V0^2 / (2g)$... (3)
下流側(西風) : $P4=C4 \times \rho \times V0^2 / (2g)$... (4)
上面部 : $P5=C5 \times \rho \times V0^2 / (2g)$... (5)

内圧をP、隙間部の抵抗係数をζとすると
 $P1-P2=\zeta \times \rho \times V1^2 / (2g)$... (6)
 $P2-P1=\zeta \times \rho \times V2^2 / (2g)$... (7)
 $P3-P4=\zeta \times \rho \times V3^2 / (2g)$... (8)
 $P4-P5=\zeta \times \rho \times V4^2 / (2g)$... (9)
 $P5-P6=\zeta \times \rho \times V5^2 / (2g)$... (10)
 $P6-P7=\zeta \times \rho \times V6^2 / (2g)$... (11)

空気流入出量のマスバランス式は
 $(V1 \times S4+V3 \times S2+V6 \times S3) \times 3600 = (V2 \times 0+V4 \times 0+V5 \times S1) \times 3600$

左辺と右辺の差をYとする
 $Y=(V1 \times S4+V3 \times S2+V6 \times S3) \times 3600 - (V2 \times 0+V4 \times 0+V5 \times S1) \times 3600$

V1, V2, V3, V4, V5, V6は(6), (7), (8), (9), (10), (11)式により、Pの関数なので、YがゼロになるようにPの値を調整する

$V0$ (m/s)	$C1$	$C2$	$C3$	$C4$	$C5$	ζ	ρ (kg/m³)
2.20	0.80	-0.50	0.10	-0.50	-0.40	2.00	1.20
S1 (m²)	S2 (m²)	S3 (m²)	S4 (m²)				
0.73	0.00	0.29	0.10				

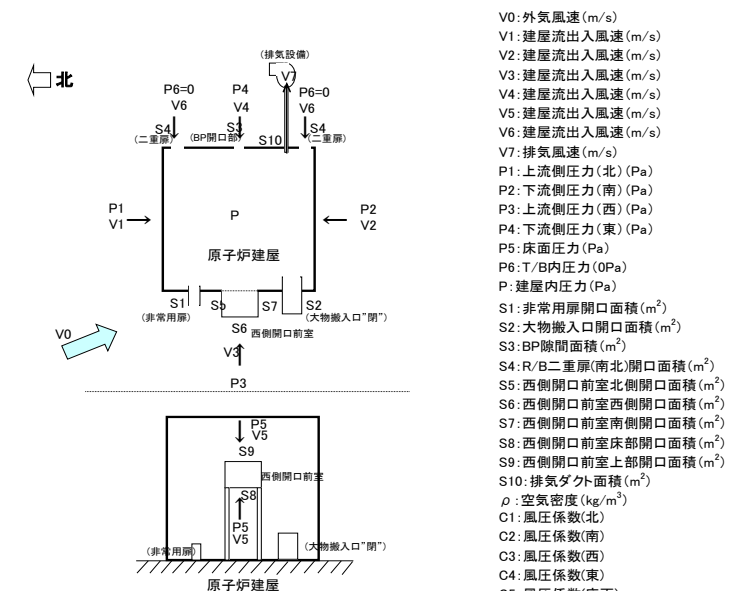
$P1$ (Pa)	$P2$ (Pa)	$P3$ (Pa)	$P4$ (Pa)	$P5$ (Pa)	$P6$ (Pa)	P (Pa)
0.237061	-0.14816	0.029633	-0.14816	-0.11853	0	-0.08078

$V1$ (m/s)	$V2$ (m/s)	$V3$ (m/s)	$V4$ (m/s)	$V5$ (m/s)	$V6$ (m/s)	Y (m³/h)
1.61	0.74	0.95	0.74	0.56	0.81	0.00
IN	OUT	IN	OUT	OUT	IN	OK

※IN : 流入
OUT : 流出

漏洩率 1,459 m³/h

2号機プロアトボル隙間の月間漏洩率の計算例



風速をVとする、上流側、下流側の圧力は次のとおりとなる。

上流側(北) : $P1=C1 \times \rho \times V0^2 / (2g)$... (1)
下流側(南) : $P2=C2 \times \rho \times V0^2 / (2g)$... (2)
上流側(西) : $P3=C3 \times \rho \times V0^2 / (2g)$... (3)
下流側(東) : $P4=C4 \times \rho \times V0^2 / (2g)$... (4)
床面 : $P5=C5 \times \rho \times V0^2 / (2g)$... (5)

内圧をP、隙間部の抵抗係数をζとすると

$P1-P2=\zeta \times \rho \times V1^2 / (2g)$... (6)
 $P2-P1=\zeta \times \rho \times V2^2 / (2g)$... (7)
 $P3-P4=\zeta \times \rho \times V3^2 / (2g)$... (8)
 $P4-P5=\zeta \times \rho \times V4^2 / (2g)$... (9)
 $P5-P6=\zeta \times \rho \times V5^2 / (2g)$... (10)
 $P6-P7=\zeta \times \rho \times V6^2 / (2g)$... (11)

空気流入出量のマスバランス式は
 $(V1 \times S5+V2 \times S7+V3 \times (S1+S2+S6)+V4 \times S3+V5 \times (S8+S9)+V6 \times S4) \times 3600 = V7 \times S10 \times 3600$

左辺と右辺の差をYとする
 $Y=(V1 \times S5+V2 \times S7+V3 \times (S1+S2+S6)+V4 \times S3+V5 \times (S8+S9)+V6 \times S4) \times 3600 - V7 \times S10 \times 3600$

$V1 \sim V6$ は(6)～(11)により、Pの関数なので、YがゼロになるようにPの値を調整する

$V0$ (m/s)	$C1$	$C2$	$C3$	$C4$	$C5$	ζ	ρ (kg/m³)
2.20	0.80	-0.50	0.10	-0.50	-0.40	2.00	1.20
S1 (m²)	S2 (m²)	S3 (m²)	S4 (m²)	S5 (m²)	S6 (m²)	S7 (m²)	S8 (m²)
0.000	0.000	0.340	0.000	0.010	0.230	0.226	0.001

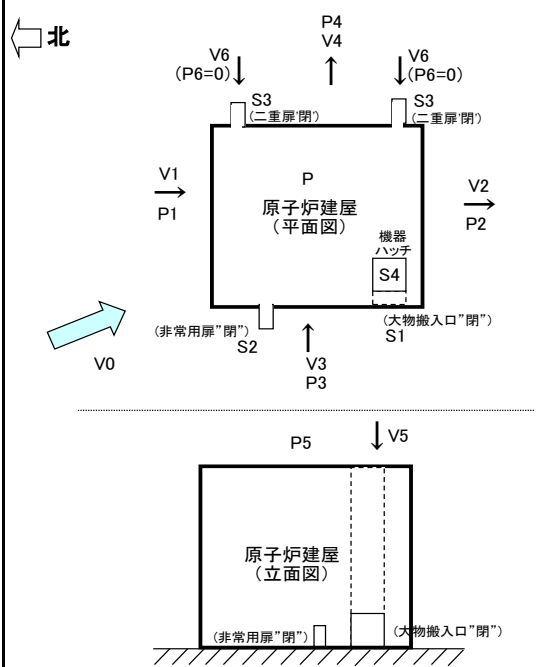
$P1$ (Pa)	$P2$ (Pa)	$P3$ (Pa)	$P4$ (Pa)	$P5$ (Pa)	$P6$ (Pa)	P (Pa)
0.062586	-0.03912	0.007823	-0.03912	-0.03129	0	-1.47714

$V1$ (m/s)	$V2$ (m/s)	$V3$ (m/s)	$V4$ (m/s)	$V5$ (m/s)	$V6$ (m/s)	$V7$ (m/s)	Y (m³/h)
3.55	3.43	3.48	3.43	3.44	3.47	5.56	0.00
IN	IN	IN	IN	IN	IN	OUT(排気)	OK

※IN : 流入
OUT : 流出

漏洩率 0 m³/h

3号機原子炉建屋機器ハッチの月間漏洩率の計算例



V0: 外気風速(m/s)
 V1: 建屋出入風速(m/s)
 V2: 建屋出入風速(m/s)
 V3: 建屋出入風速(m/s)
 V4: 建屋出入風速(m/s)
 V5: 建屋出入風速(m/s)
 V6: 建屋出入風速(m/s)
 P1: 上流側圧力(北)(Pa)
 P2: 下流側圧力(南)(Pa)
 P3: 上流側圧力(西)(Pa)
 P4: 下流側圧力(東)(Pa)
 P5: 上面部圧力(Pa)
 P6: T/B内圧力(0Pa)
 P: 建屋内圧力(Pa)
 S1: R/B大物搬入口面積(m²)
 S2: R/B非常用扉開口面積(m²)
 S3: R/B二重扉開口面積(m²)
 S4: 機器ハッチ隙間面積(m²)
 ρ: 空気密度(kg/m³)
 C1: 風圧係数(北)
 C2: 風圧係数(南)
 C3: 風圧係数(西)
 C4: 風圧係数(東)
 C5: 風圧係数(上面部)
 ζ: 形状抵抗係数

風速をVとすると、上流側、下流側の圧力は次のとおりとなる。

$$\begin{aligned}
 \text{上流側(北)}: P1 &= C1 \times \rho \times V0^2 / (2g) & \dots (1) \\
 \text{下流側(南)}: P2 &= C2 \times \rho \times V0^2 / (2g) & \dots (2) \\
 \text{上流側(西)}: P3 &= C3 \times \rho \times V0^2 / (2g) & \dots (3) \\
 \text{下流側(東)}: P4 &= C4 \times \rho \times V0^2 / (2g) & \dots (4) \\
 \text{上面部} : P5 &= C5 \times \rho \times V0^2 / (2g) & \dots (5)
 \end{aligned}$$

内圧をP、隙間部の抵抗係数をζとすると

$$\begin{aligned}
 P1-P &= \zeta \times \rho \times V1^2 / (2g) & \dots (6) \\
 P2-P &= \zeta \times \rho \times V2^2 / (2g) & \dots (7) \\
 P3-P &= \zeta \times \rho \times V3^2 / (2g) & \dots (8) \\
 P4-P &= \zeta \times \rho \times V4^2 / (2g) & \dots (9) \\
 P5-P &= \zeta \times \rho \times V5^2 / (2g) & \dots (10) \\
 P6-P &= \zeta \times \rho \times V6^2 / (2g) & \dots (11)
 \end{aligned}$$

空気流出入量のマスバランス式は

$$(V1 \times 0 + V3 \times (S1+S2) + V5 \times S4 + V6 \times S3) \times 3600 = (V2 \times 0 + V4 \times 0) \times 3600$$

左辺と右辺の差を「Y」とすると

$$Y = (V1 \times 0 + V3 \times (S1+S2) + V5 \times S4 + V6 \times S3) \times 3600 - (V2 \times 0 + V4 \times 0) \times 3600$$

V1～V6は(6)～(11)式により、Pの関数なので、「Y」がゼロになるように
Pの値を調整する

V0 (m/s)	C1	C2	C3	C4	C5	ζ	ρ (kg/m ³)
2.20	0.80	-0.50	0.10	-0.50	-0.40	2.00	1.20
S1 (m ²)	S2	S3	S4				
0.00	0.00	0.00	1.01				

P1 (Pa)	P2 (Pa)	P3 (Pa)	P4 (Pa)	P5 (Pa)	P6 (Pa)	P
0.237061	-0.14816	0.029633	-0.14816	-0.11853	0	-0.11853

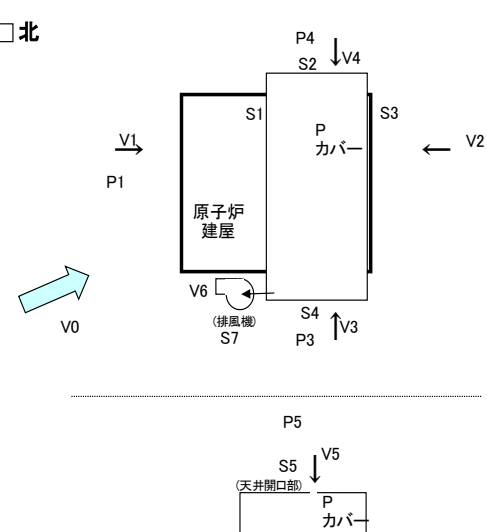
V1 (m/s)	V2 (m/s)	V3 (m/s)	V4 (m/s)	V5 (m/s)	V6 (m/s)	Y (m ³ /h)
1.70	0.49	1.10	0.49	0.00	0.98	0.00
IN	OUT	IN	OUT	IN	IN	OK

※IN:流入
OUT:流出

漏洩率

0 m³/h

3号機燃料取出し用カバーの月間漏洩率の計算例



V0: 外気風速(m/s)
 V1: カバー内出入風速(m/s)
 V2: カバー内出入風速(m/s)
 V3: カバー内出入風速(m/s)
 V4: カバー内出入風速(m/s)
 V5: カバー内出入風速(m/s)
 V6: 排気風速(m/s)
 P: カバー内圧力(Pa)
 P1: 上流側圧力(北)(Pa)
 P2: 下流側圧力(南)(Pa)
 P3: 上流側圧力(西)(Pa)
 P4: 下流側圧力(東)(Pa)
 P5: 上下部圧力(Pa)
 S1: カバー隙間面積(m²)
 S2: カバー隙間面積(m²)
 S3: カバー隙間面積(m²)
 S4: カバー隙間面積(m²)
 S5: カバーベルト隙間面積(m²)
 S6: ガーメント隙間面積(m²)
 S7: 排気ダクト吸込口面積(m²)
 ρ: 空気密度(kg/m³)
 C1: 風圧係数(風上側)
 C2: 風圧係数(風下側)
 C3: 風圧係数(風上側)(西)
 C4: 風圧係数(風下側)(東)
 C5: 風圧係数(上下部)
 ζ: 形状抵抗係数

風速をVとすると、上流側、下流側の圧力は次のとおりとなる。

$$\begin{aligned}
 \text{上流側(北)}: P1 &= C1 \times \rho \times V0^2 / (2g) & \dots (1) \\
 \text{下流側(南)}: P2 &= C2 \times \rho \times V0^2 / (2g) & \dots (2) \\
 \text{上流側(西)}: P3 &= C3 \times \rho \times V0^2 / (2g) & \dots (3) \\
 \text{下流側(東)}: P4 &= C4 \times \rho \times V0^2 / (2g) & \dots (4) \\
 \text{上面部} : P5 &= C5 \times \rho \times V0^2 / (2g) & \dots (5)
 \end{aligned}$$

内圧をP、隙間部の抵抗係数をζとすると

$$\begin{aligned}
 P1-P &= \zeta \times \rho \times V1^2 / (2g) & \dots (6) \\
 P2-P &= \zeta \times \rho \times V2^2 / (2g) & \dots (7) \\
 P3-P &= \zeta \times \rho \times V3^2 / (2g) & \dots (8) \\
 P4-P &= \zeta \times \rho \times V4^2 / (2g) & \dots (9) \\
 P5-P &= \zeta \times \rho \times V5^2 / (2g) & \dots (10)
 \end{aligned}$$

空気流出入量のマスバランス式は

$$(V1 \times S1 + V2 \times S3 + V3 \times S4 + V4 \times S2 + V5 \times (S5+S6)) \times 3600 = V6 \times S7 \times 3600$$

左辺と右辺の差を「Y」とすると

$$Y = (V1 \times S1 + V2 \times S3 + V3 \times S4 + V4 \times S2 + V5 \times (S5+S6)) \times 3600 - V6 \times S7 \times 3600$$

V1～V6は(6)～(10)式により、Pの関数なので、「Y」がゼロになるように
Pの値を調整する

V0 (m/s)	C1	C2	C3	C4	C5	ζ	ρ (kg/m ³)
2.20	0.80	-0.50	0.10	-0.50	-0.40	2.00	1.20
S1 (m ²)	S2	S3	S4	S5	S6	S7	
2.56	0.41	2.56	0.41	0.36	4.47	4.76	

P1 (Pa)	P2 (Pa)	P3 (Pa)	P4 (Pa)	P5 (Pa)	P
0.237061	-0.14816	0.029633	-0.14816	-0.11853	-0.15398

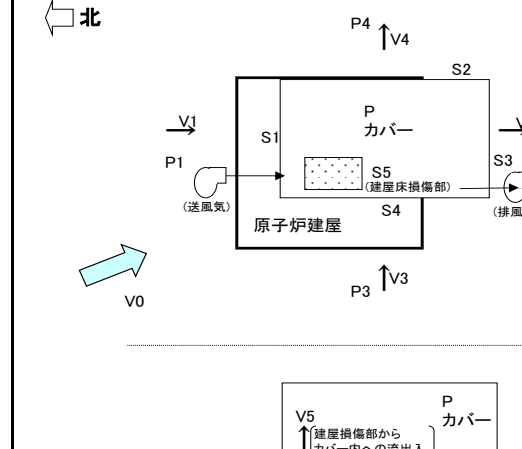
V1 (m/s)	V2 (m/s)	V3 (m/s)	V4 (m/s)	V5 (m/s)	V6 (m/s)	Y (m ³ /h)
1.79	0.22	1.22	0.22	0.54	1.75	0.00
IN	IN	IN	IN	IN	OUT(排気)	OK

※IN:流入
OUT:流出

漏洩量

0 m³/h

4号機燃料取出し用カバーの月間漏洩率の計算例



V0: 外気風速(m/s)
 V1: カバー内出入風速(m/s)
 V2: カバー内出入風速(m/s)
 V3: カバー内出入風速(m/s)
 V4: カバー内出入風速(m/s)
 V5: カバー内出入風速(m/s)
 P: カバー内圧力(Pa)
 P1: 上流側圧力(北風)(Pa)
 P2: 下流側圧力(北風)(Pa)
 P3: 上流側圧力(西風)(Pa)
 P4: 下流側圧力(西風)(Pa)
 P5: R/B内圧力(0Pa)
 S1: カバー隙間面積(m²)
 S2: カバー隙間面積(m²)
 S3: カバー隙間面積(m²)
 S4: カバー隙間面積(m²)
 S5: 建屋床損傷部隙間面積(m²)
 P5=0
 原子炉建屋

風速をVとすると、上流側、下流側の圧力は次のとおりとなる。

$$\begin{aligned}
 \text{上流側(北風)}: P1 &= C1 \times \rho \times V0^2 / (2g) & \dots (1) \\
 \text{下流側(北風)}: P2 &= C2 \times \rho \times V0^2 / (2g) & \dots (2) \\
 \text{上流側(西風)}: P3 &= C3 \times \rho \times V0^2 / (2g) & \dots (3) \\
 \text{下流側(西風)}: P4 &= C4 \times \rho \times V0^2 / (2g) & \dots (4)
 \end{aligned}$$

内圧をP、隙間部の抵抗係数をζとすると

$$\begin{aligned}
 P1-P &= \zeta \times \rho \times V1^2 / (2g) & \dots (5) \\
 P2-P &= \zeta \times \rho \times V2^2 / (2g) & \dots (6) \\
 P3-P &= \zeta \times \rho \times V3^2 / (2g) & \dots (7) \\
 P4-P &= \zeta \times \rho \times V4^2 / (2g) & \dots (8) \\
 P5-P &= \zeta \times \rho \times V5^2 / (2g) & \dots (9)
 \end{aligned}$$

空気流出入量のマスバランス式は

$$(V1 \times S1 + V2 \times S3 + V3 \times S5 + V4 \times S2) \times 3600 = V5 \times S7 \times 3600$$

左辺と右辺の差を「Y」とすると

$$Y = (V1 \times S1 + V2 \times S3 + V3 \times S5 + V4 \times S2) \times 3600 - V5 \times S7 \times 3600$$

V1～V6は(5)～(9)式により、Pの関数なので、「Y」がゼロになるように
Pの値を調整する

V0 (m/s)	C1	C2	C3	C4	ζ